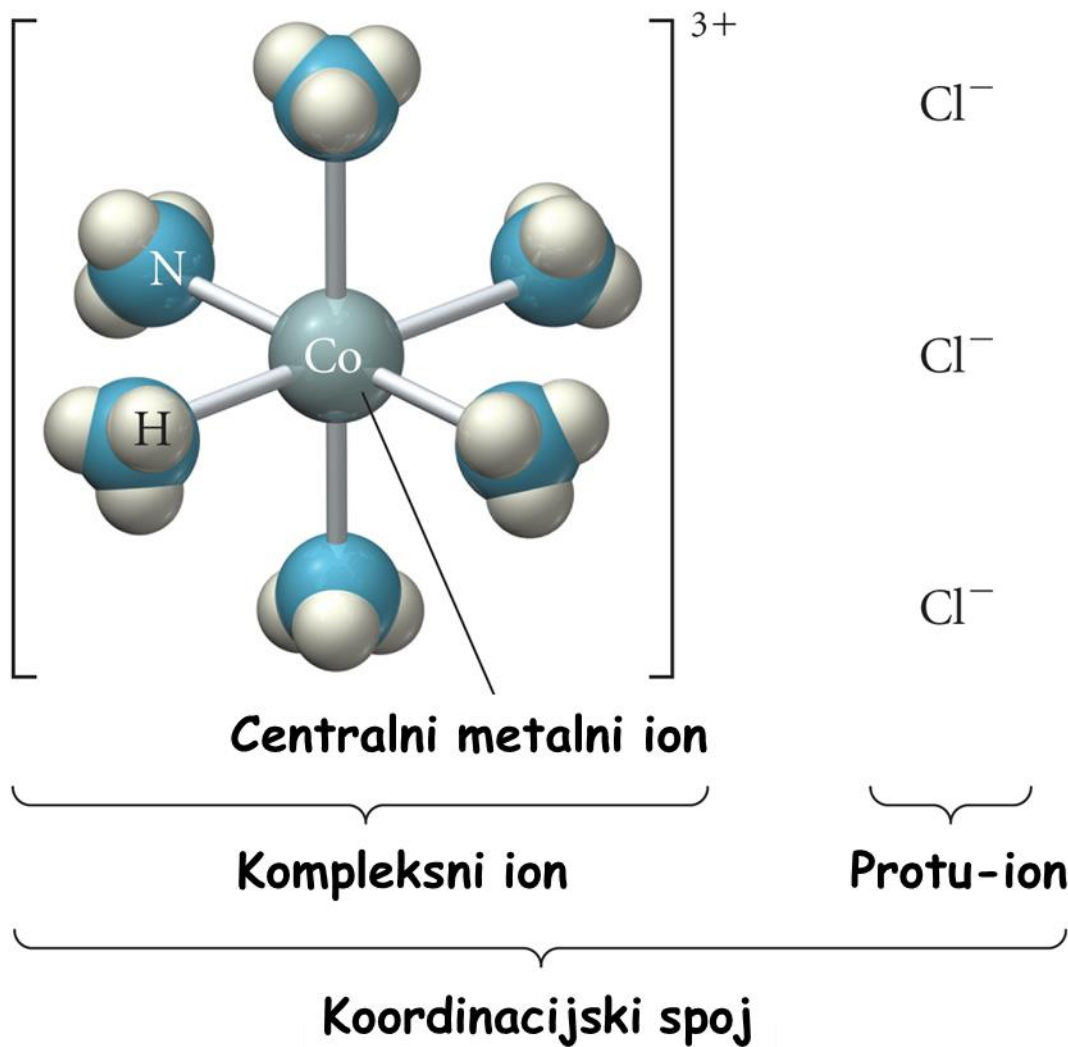


## 2. Koordinacijski spojevi



# Koordinacijski spojevi

1892. → prvi put iznio svoju teoriju strukture koordinacijskih spojeva

➤ osnovni postulat Wernerove teorije → dva različita tipa veze prisutna u koordinacijskim spojevima:

a) *primarna valencija* – odgovara joj oksidacijski stupanj centralnog atoma; neovisna o sekundarnoj valenciji

b) *sekundarna valencija* – koordinacijski broj metala, neovisan o primarnoj valenciji

Alfred Werner

*Founder of Coordination Chemistry*



Alfred Werner (1866-1919)



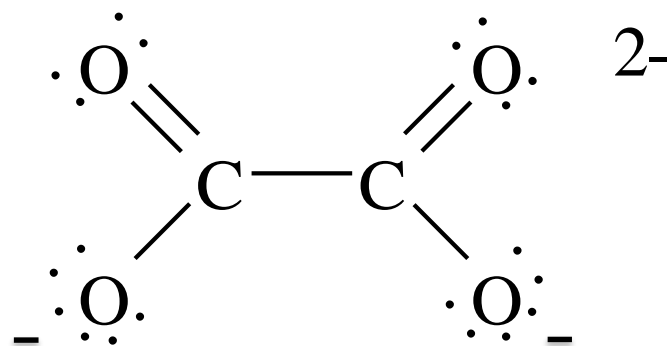
- najviše je ispitivao komplekse s koordinacijskim brojevima 4 i 6
- na dokazima za kvadratni, tetraedarski i oktaedarski razmještaj atoma oko centralnog metalnog atoma zasnovao anorgansku stereokemiju
- ispitivao izomeriju kompleksa s kelatnim ligandima

# Ligandi

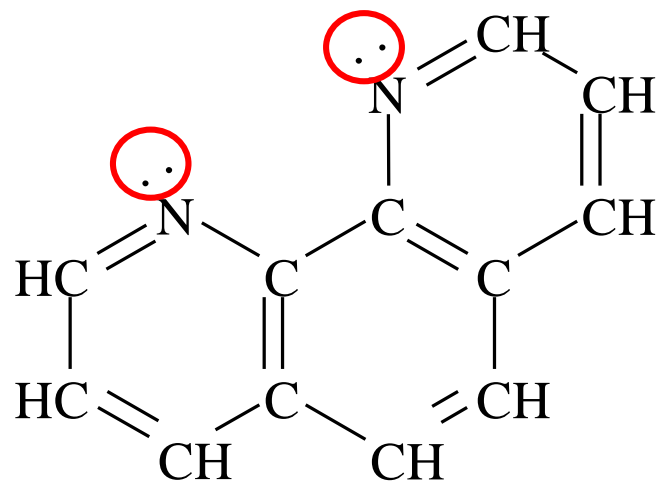
➤ Monodentatni



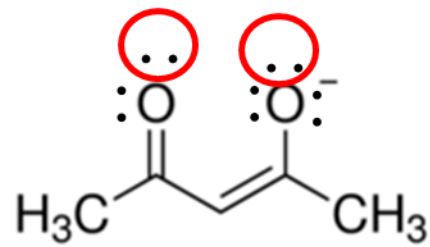
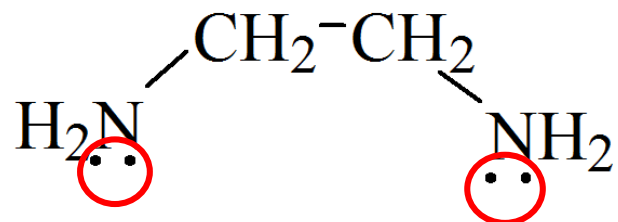
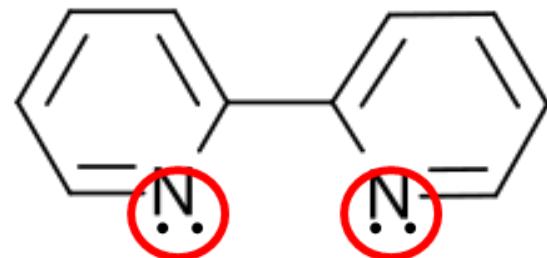
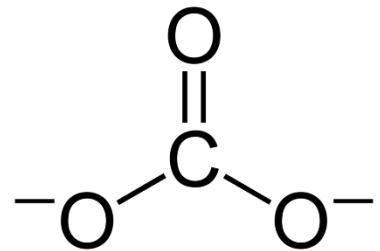
➤ Didentatni i tridentatni

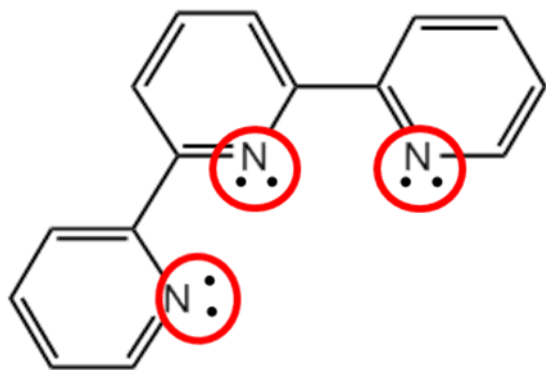


Oksalat  
(ox)

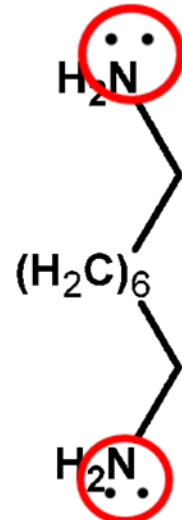


Orto-fenantrolin  
(O-phen)

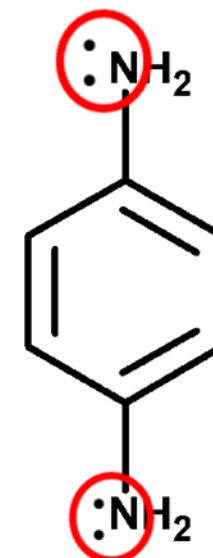




Terpiridin  
(terpy)

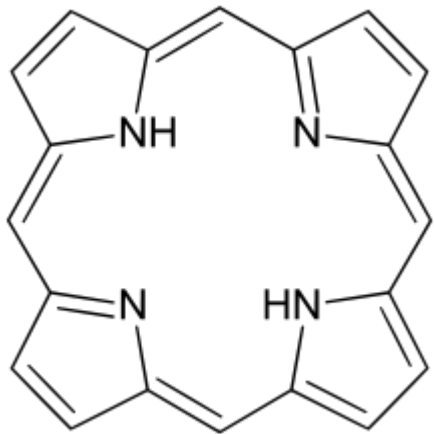


1,8-diamminooktan p-fenilendiamin  
(DAO)

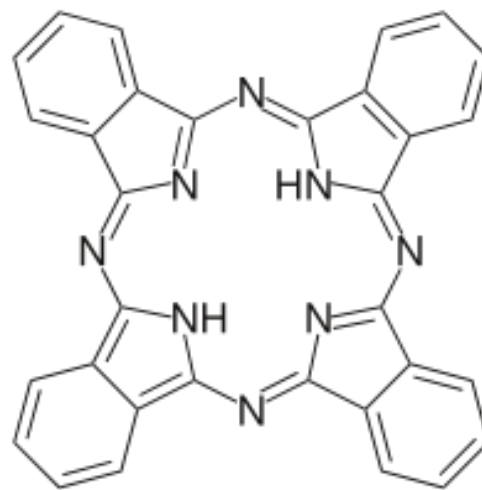


(PDA)

➤ Polidentatni: tetradentatni.....

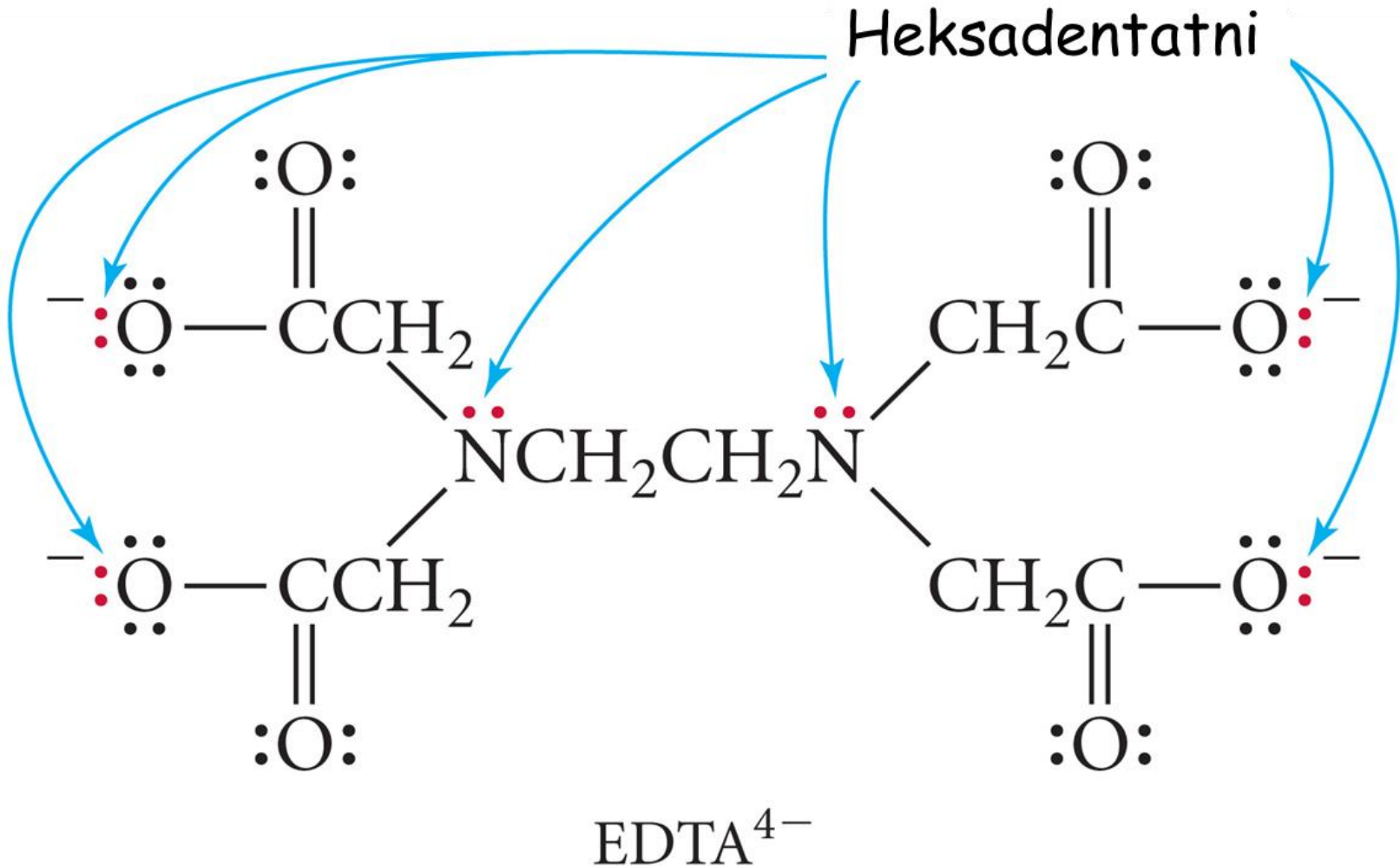


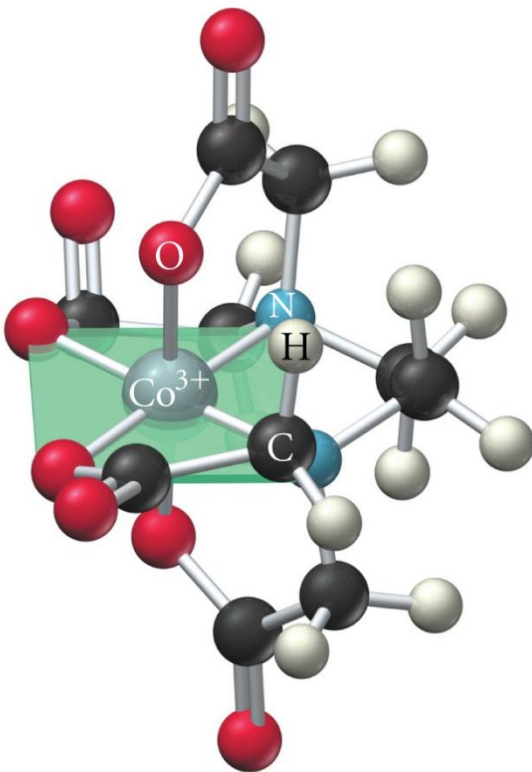
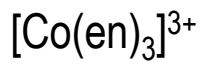
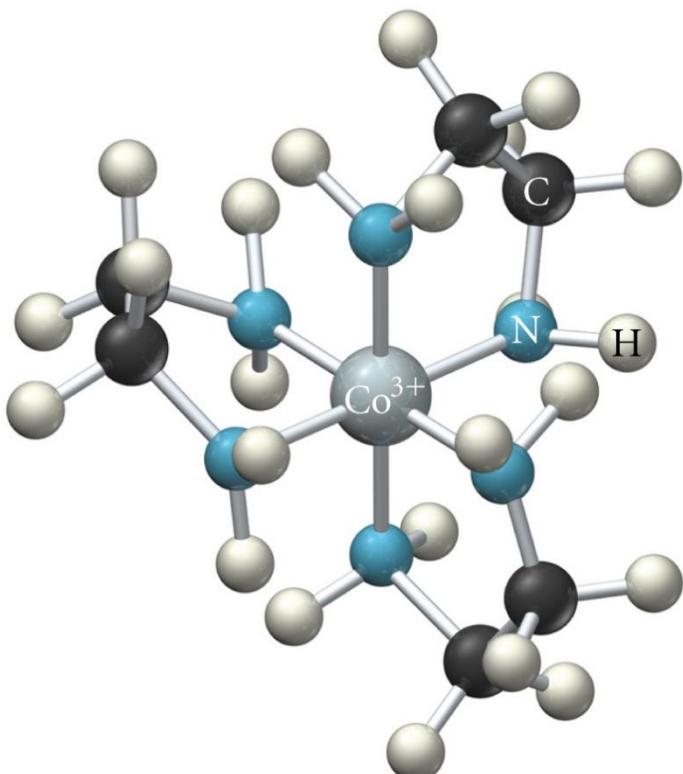
Porfirin



Ftalocijanin

.....i heksadentatni





# KOORDINACIJA U KEMIJI SPOJEVA ELEMENATA d-BLOKA

Koordinacijski broj	Razmještaj donornih atoma oko metalnog centra	Manje povoljan razmještaj
2	Linearan	
3	Trigonski	Trigonsko piramidalan
4	Tetraedarski, kvadratni	
5	Trigonsko biramidalan, kvadratno piramidalan	
6	Oktaedarski	Trigonsko prizmatski
7	Pentagonsko bipiramidalan	Trigonsko prizmatski i oktaedarski s dodatnim vrhom
8	Dodekaedarski, kvadratno antiprizmatski, heksagonsko bipiramidalan	Kocka, Trigonsko prizmatski s dva dodatna vrha
9	Trigonsko prizmatski s tri dodatna vrha	

# IZOMERIJA U KEMIJI KOMPLEKSNIH SPOJEVA

STRUKTURNI (KONSTITUCIJSKI) IZOMERI

ionizacijski, solvatacijski, koordinacijski, ‘polimerizacijski’, vezni, geometrijski)

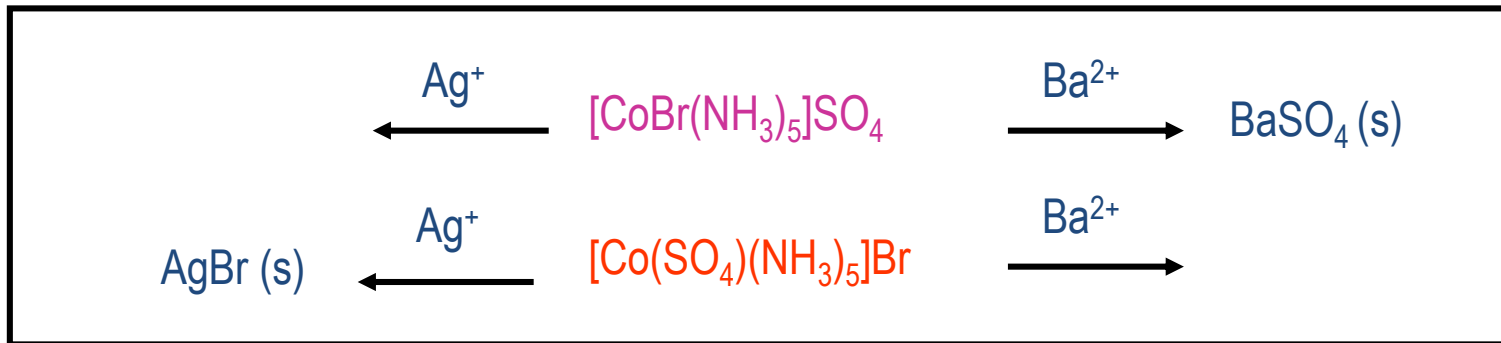
OPTIČKI IZOMERI

(OPĆENITIJE – STEREOIZOMERI)

ELEKTRONSKI IZOMERI

spinski, oksidoreduksijski...

Ionizacijski izomeri: izmjena anionskog liganda unutar prve koordinacijske sfere s anionom izvan koordinacijske sfere



Solvatačijski (hidratni) izomeri: izmjena otapala i liganda između prve koordinacijske sfere i liganada izvan koordinacijske sfere

Na pr.



ljubičasti



plavozeleni



zeleni

Koordinacijski izomeri: mogući samo kod soli koje sadrže kompleksni anion i kation – „izmjena” liganada između dva metalna centra



➤ ‘Polimerizacijski izomeri’:

kompleksi iste empirijske formule ali različite molarne mase (tako da zapravo zapravo **nisu** izomeri)

-vrijednost  $n$  u empirijskoj formuli  $[ML_m]_n$

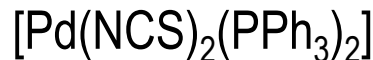


oba spoja imaju empirijsku formulu  $[\text{PtCl}_2(\text{NH}_3)_2]_n$

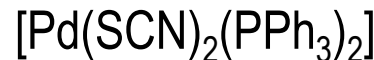
➤ Vezni izomeri:

kada jedan ili više liganada mogu koordinirati metalni ion na više načina

- ambidentatni ligandi mogu se vezati preko različitih atoma



tiocijanat-*N*

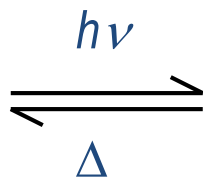


tiocijanat-S



žuti

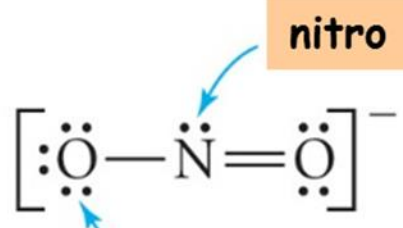
*nitro*-kompleks



crveni

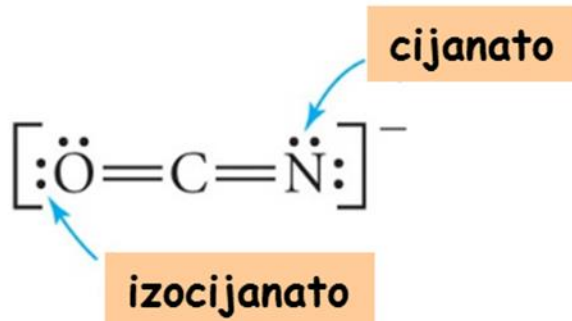
*nitrito*-kompleks

## Ligandi koji mogu raditi vezne izomere



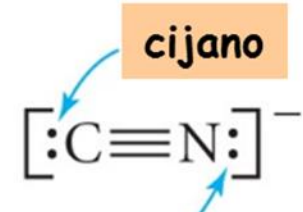
nitro

nitrito



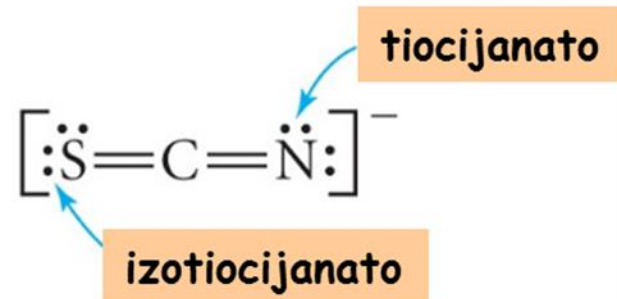
cijanato

izocijanato



cijano

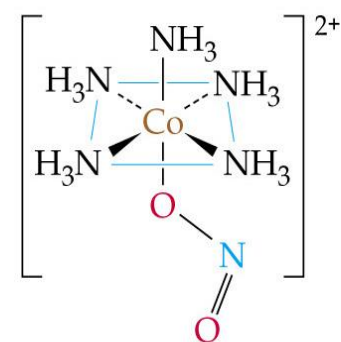
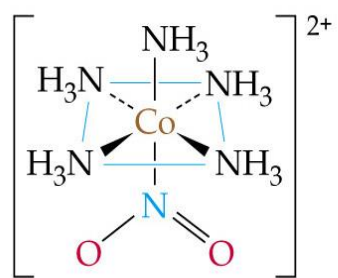
izocijano



tiocijanato

izotiocijanato

S-tiocijanato  
N-tiocijanato



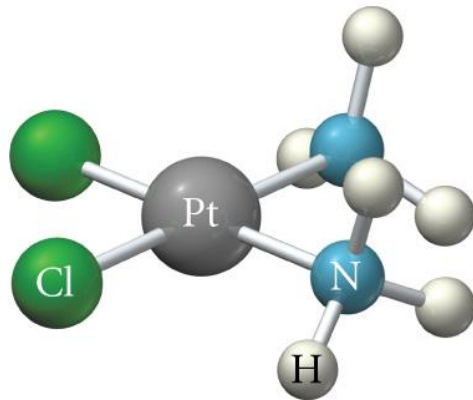
## Sinteza veznih izomera Co(III)

- $[CoCl(NH_3)_5]Cl_2 + NH_3(aq) \rightarrow [Co(NH_3)_5(H_2O)]Cl_3$
- $NaNO_2 + \downarrow \quad \downarrow + NaNO_2, HCl(konc)$
- 
- $[Co(NO_2-O)(NH_3)_5]Cl_2 \xrightleftharpoons[UV]{HCl, \Delta} [Co(NO_2-N)(NH_3)_5]Cl_2$
- Navedeni izomeri mogu se razlikovati na osnovi podataka iz IR spektara:
  - $NO_2-O: 1065 \text{ i } 1470 \text{ cm}^{-1}$
  - $NO_2-N: 1310 \text{ i } 1430 \text{ cm}^{-1}$

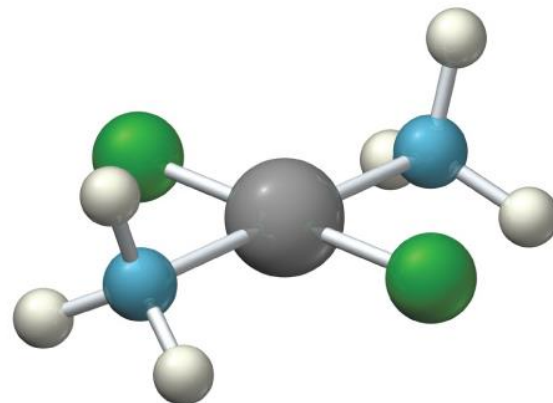
➤ Geometrijski izomeri:

1. *cis* i *trans* u

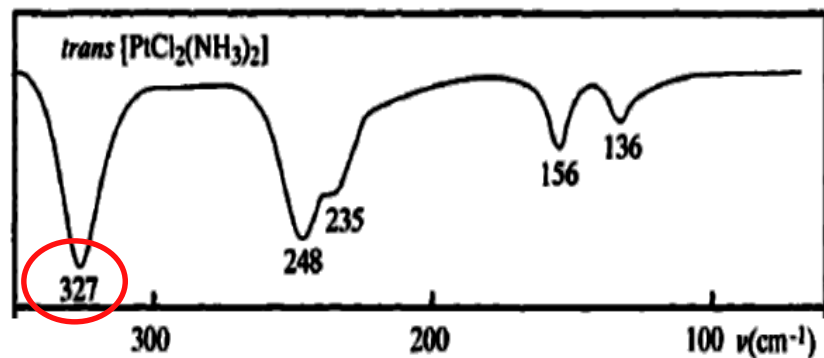
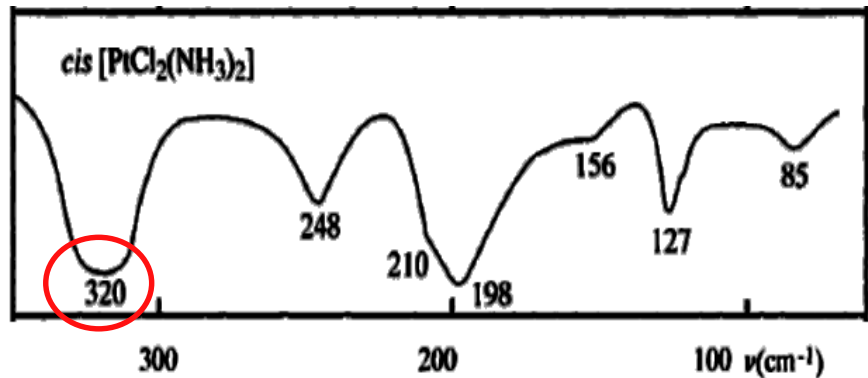
geometrijski izomeri kompleksa  $[\text{PtCl}_2(\text{NH}_3)_2]$  (Werner)



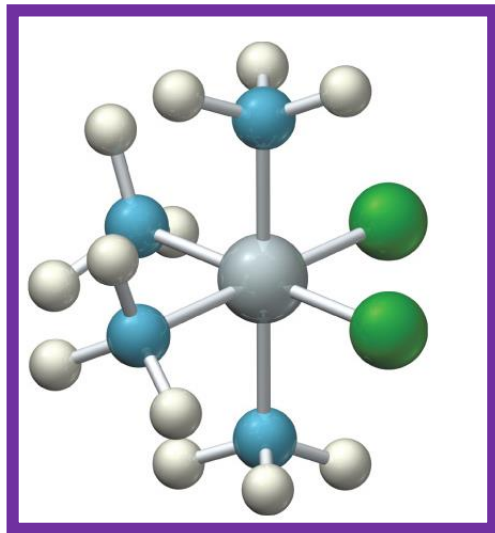
*cis*-diammindiokloroplatina(II)



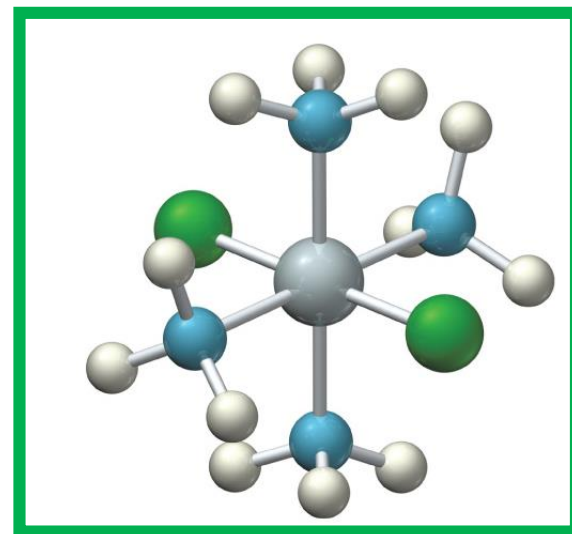
*trans*-diammindiokloroplatina(II)



➤ A. Werner: ispitivao je geometrijske izomere kompleksa:



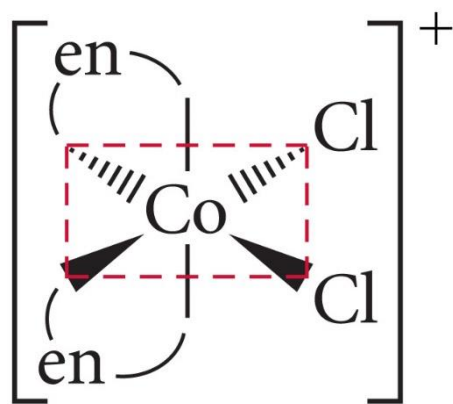
*cis*-tetraamminediklorokobaltov(III) klorid



*trans*-tetraamminediklorokobaltov(III) klorid

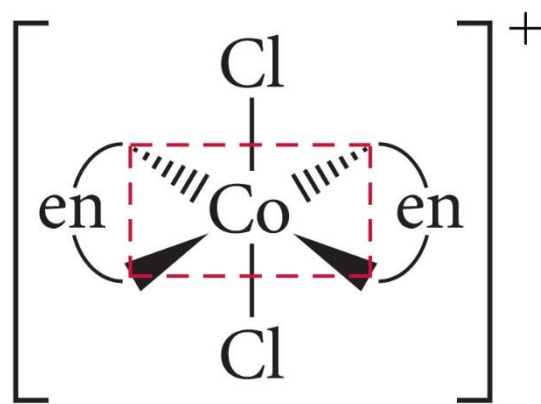
➤ Geometrijski izomeri:  $[\text{CoCl}_2(\text{en})_2]^+$

- *cis* i *trans* izomeri



*cis*-bis(ethylendiammin)diklorokobaltov(III) ion

$\text{MA}_2\text{B}_2$



*trans*-bis(ethylendiammin)diklorokobaltov(III) ion

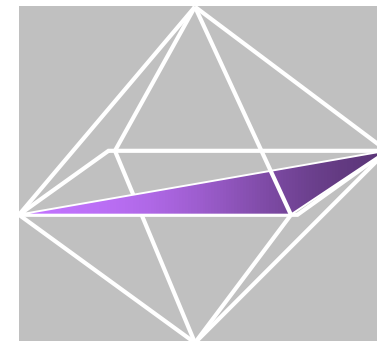
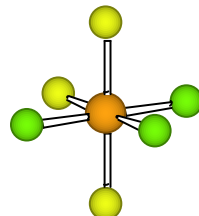
- Facijalni i meridionalni izomeri: oktaedarski kompleksi

[ $ML_3X_3$ ]

*mer*-[Co(NO<sub>2</sub>)<sub>3</sub>(NH<sub>3</sub>)<sub>3</sub>]

MERIDONAL

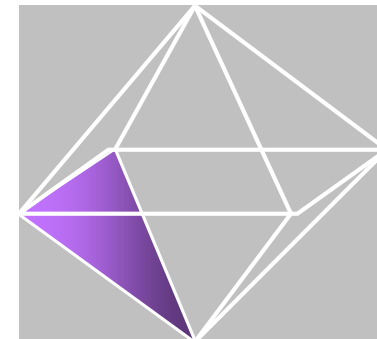
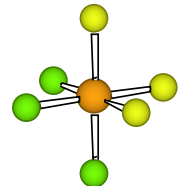
mer



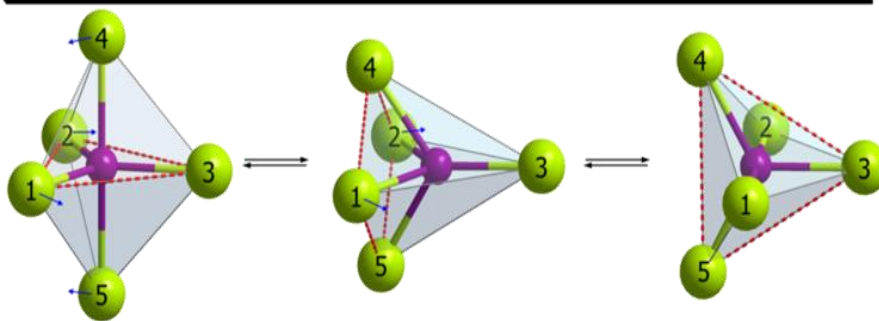
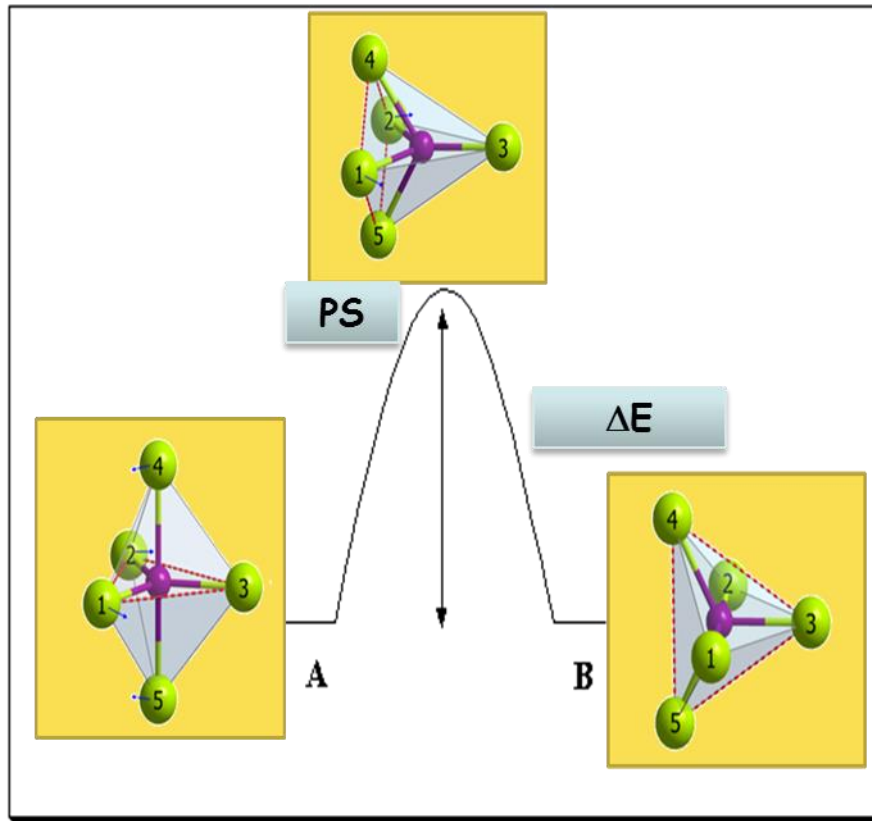
FACIAL

fac

*fac*-[Co(NO<sub>2</sub>)<sub>3</sub>(NH<sub>3</sub>)<sub>3</sub>]

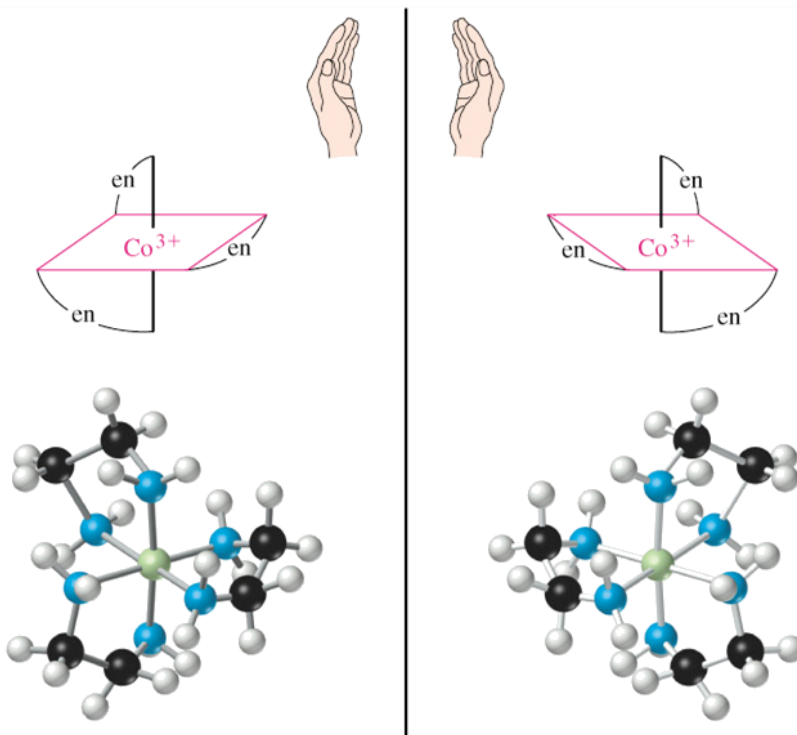


# Berryeva pseudorotacija: $K.B.= 5$

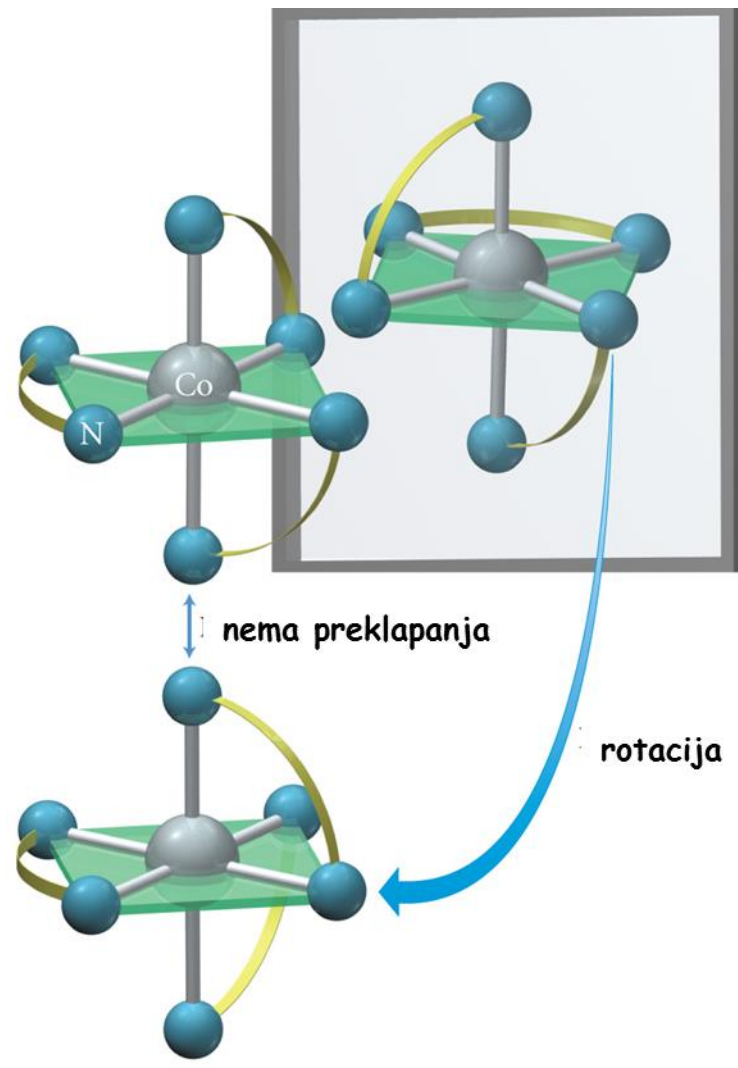


## ➤ Optički izomeri:

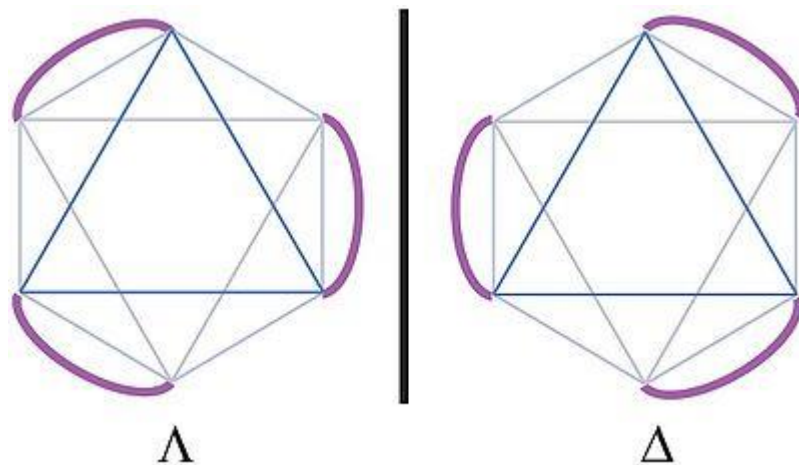
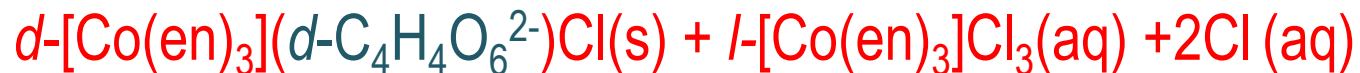
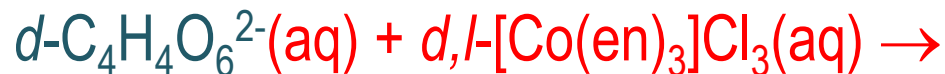
- ❖ - svojstva optičkih izomera ista: talište, vrelište, topljivost, boja, kemijska reaktivnost
- ❖ razlika- reaktivnost s drugim "kiralnim" reagensima kao i zakretanje ravnine polariziranog svjetla- optički antipodi ili enantiomorfne forme



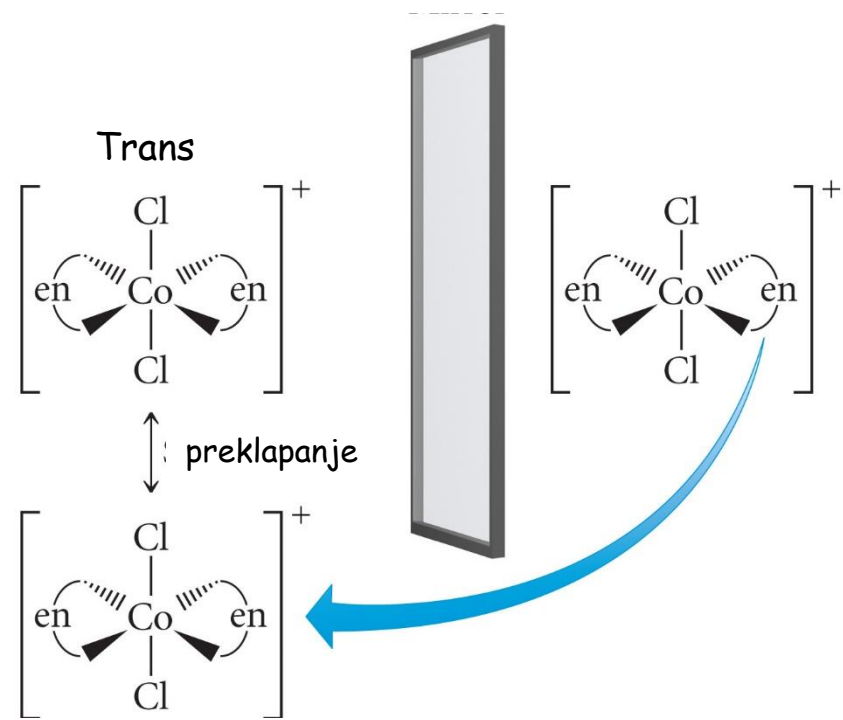
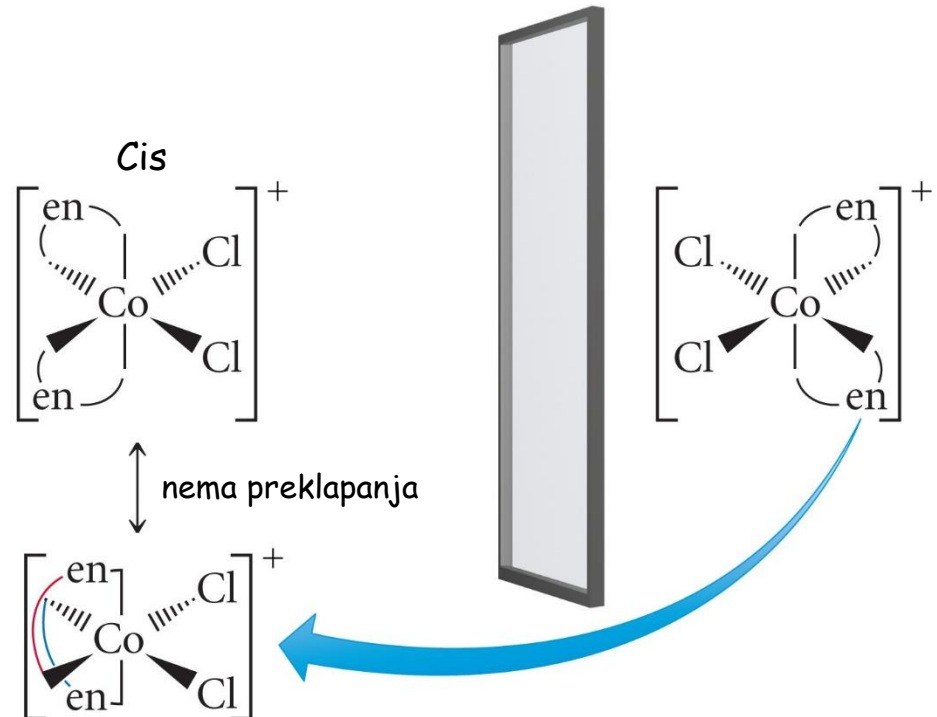
$[Co(en)_3]^{3+}$  ion



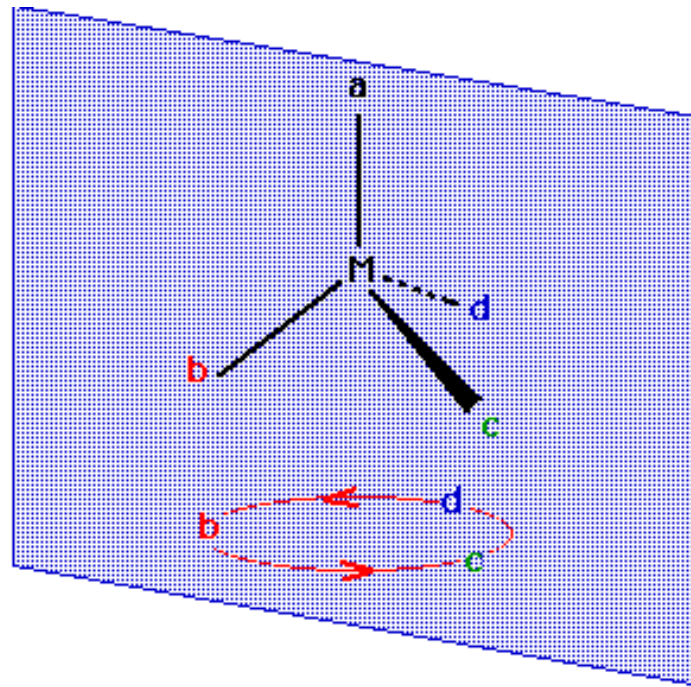
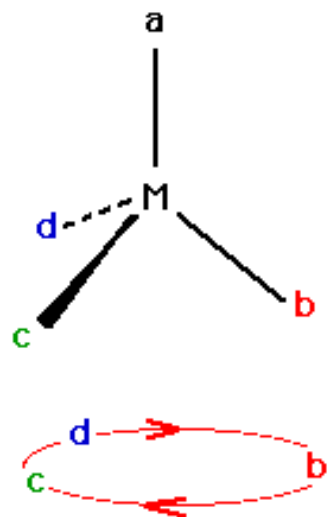
1912. A. Werner je razdvojio dijastereomere koji sadrže  $[\text{Co}(\text{en})_3]^{3+}$  ion  $\rightarrow d\text{i}\text{l}$  ( $\Delta$  i  $\Lambda$ ) forma



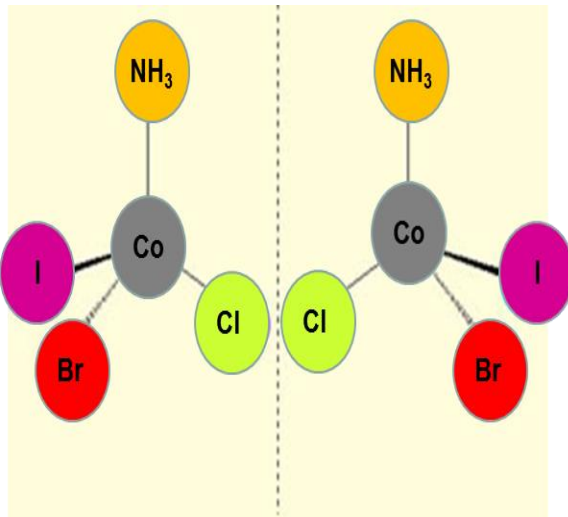
$\Delta$  i  $\Lambda$  – oznake absolutne konfiguracije u oktaedarskih kompleksa (smjer zakretanja spirale definirane kelatnim ligandima)



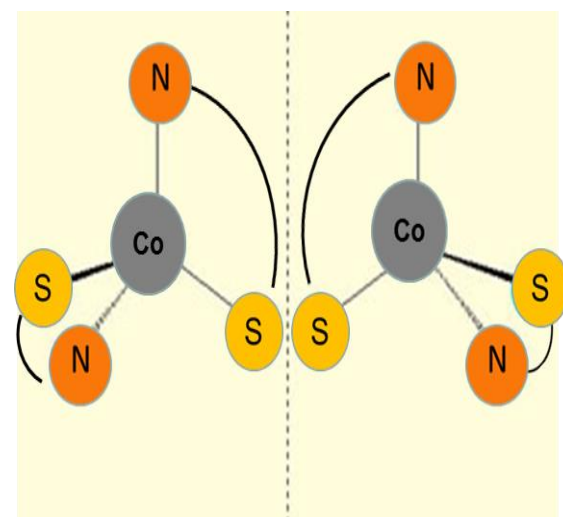
# Optički izomeri ???



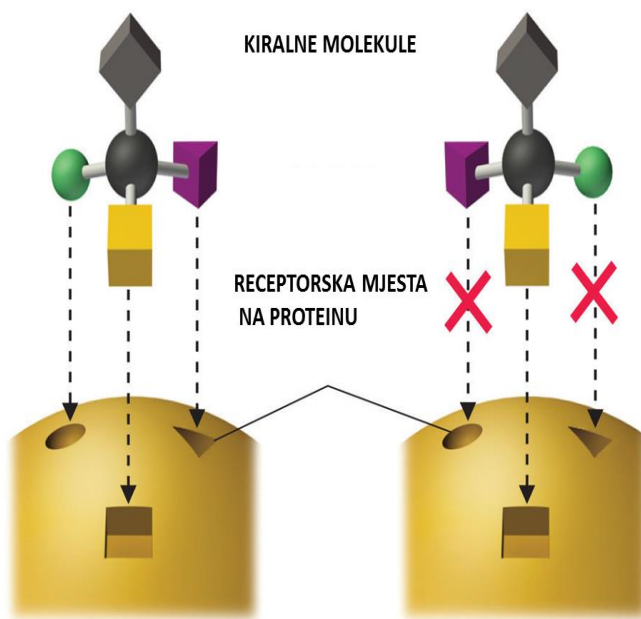
# Optički izomeri s $K_B = 4$



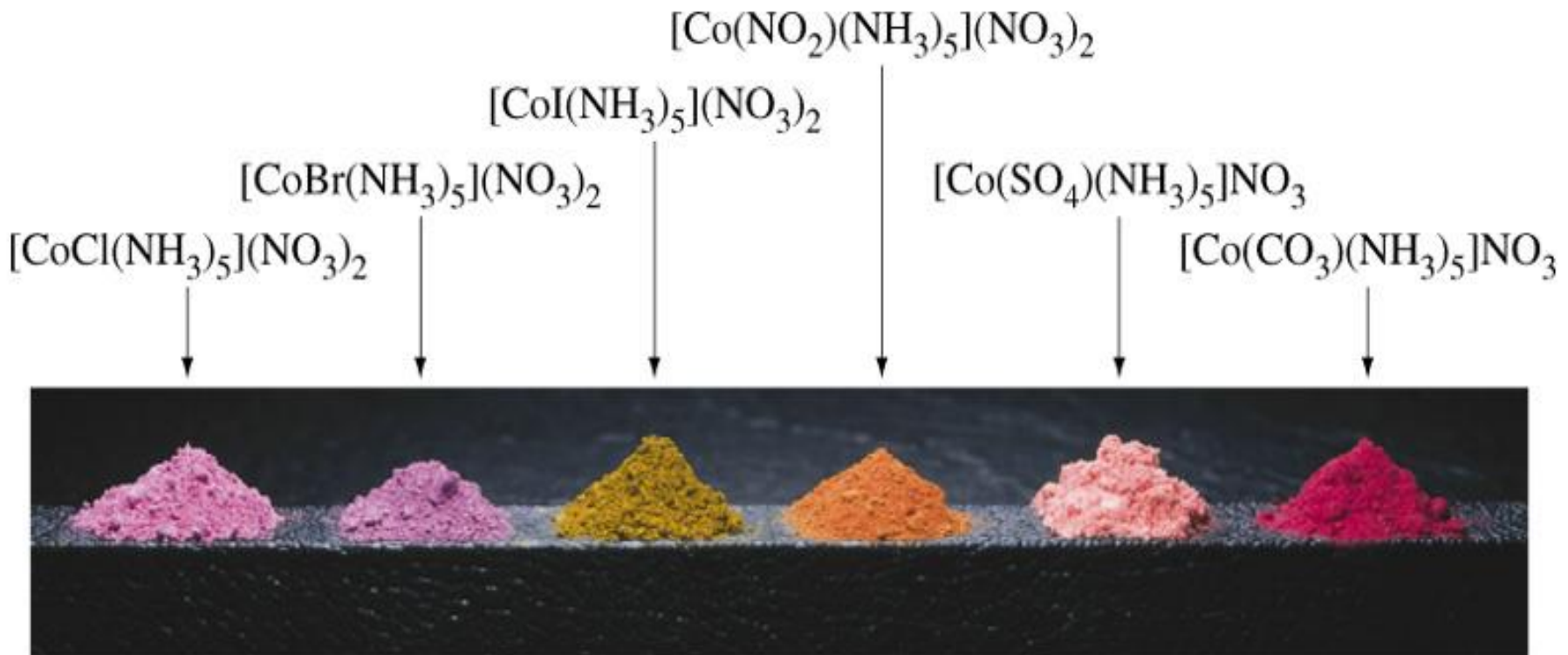
[MABCD] enantiomeri



[M(AB)<sub>2</sub>] enantiomeri



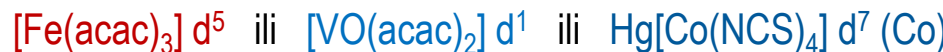
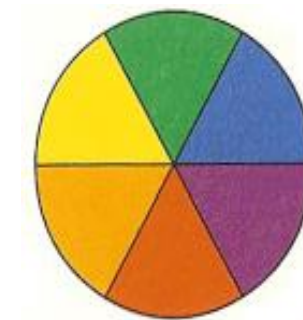
# Boja i magnetska svojstva koordinacijskih spojeva



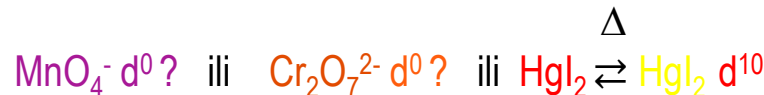
# VIDLJIVI DIO ELEKTROMAGNETSKOG SPEKTRA

Boja apsorbirane svjetlosti	Valna duljina / nm	Valni broj / cm <sup>-1</sup>	Boja propuštena svjetlosti
Crvena	700-620	14 300-16 100	Zelena
Narančasta	620-580	16 100-17 200	Plava
Žuta	580-560	17 200-17 900	Ljubičasta
Zelena	560-490	17 900-20 400	Crvena
Plava	490-430	20 400-23 500	Narančasta
Ljubičasta	430-380	23 250-26 300	Žuta

“Kotač boja”



ali



- Teorija valentne veze: 1930. Linus Pauling
- Teorija kristalnog polja: 1929. Hans Bethe
- Teorija ligandnog polja: 1935. J. H. van Vleck

## ➤ Teorija valentne veze:

- veze ionske ili kovalentne
- nastajanje kompleksa uključuje reakcije Lewisovih baza (ligandi) i Lewisovih kiselina (metalni ioni) uz nastanak kovalentnih (koordinativnih) veza

**Geometrija**

**Hibridizacija**

**Orbitale**

**Linearna**

$sp$



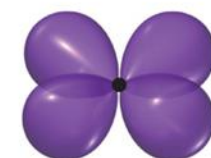
**Tetraedarska**

$sp^3$



**Kvadratna**

$dsp^2$



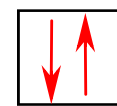
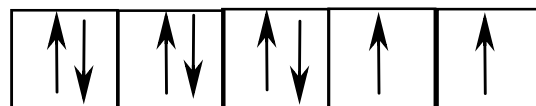
**Oktaedarska**

$d^2sp^3$



- sp - linearan razmještaj
- sp<sup>3</sup>-tetraedarski razmještaj       $[\text{NiCl}_4]^{2-}$

$[\text{Ni}^{2+}]$     $[\text{Ar}]$   $3d^8$

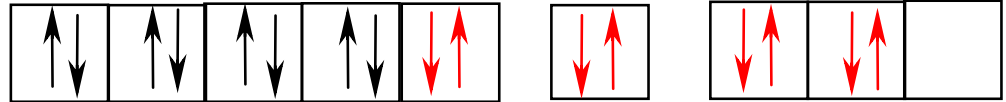


$[\text{Ni}]$     $[\text{Ar}]$   $3d^8$   $4s^2$

➤ **dsp<sup>2</sup>-kvadratni razmještaj**

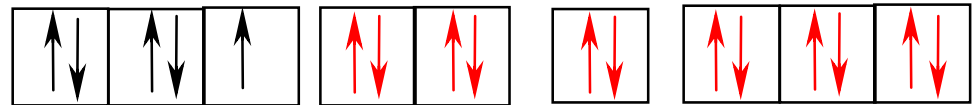
[PtCl<sub>4</sub>]<sup>2-</sup>

[Pt<sup>2+</sup>] [Xe] 4f<sup>14</sup> 5d<sup>8</sup>



[Pt] [Xe] 4f<sup>14</sup> 5d<sup>9</sup> 6s<sup>1</sup>

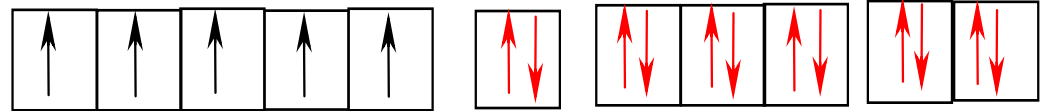
➤  $d^2sp^3$  -oktaedarski razmještaj



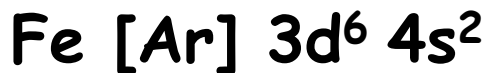
➤ unutarnjeorbitalni (koalentni kompleksi, niskospinski)



➤  $sp^3d^2$  -oktaedarski razmještaj



➤ vanjskoorbitalni (ionski kompleksi, visokospinski)

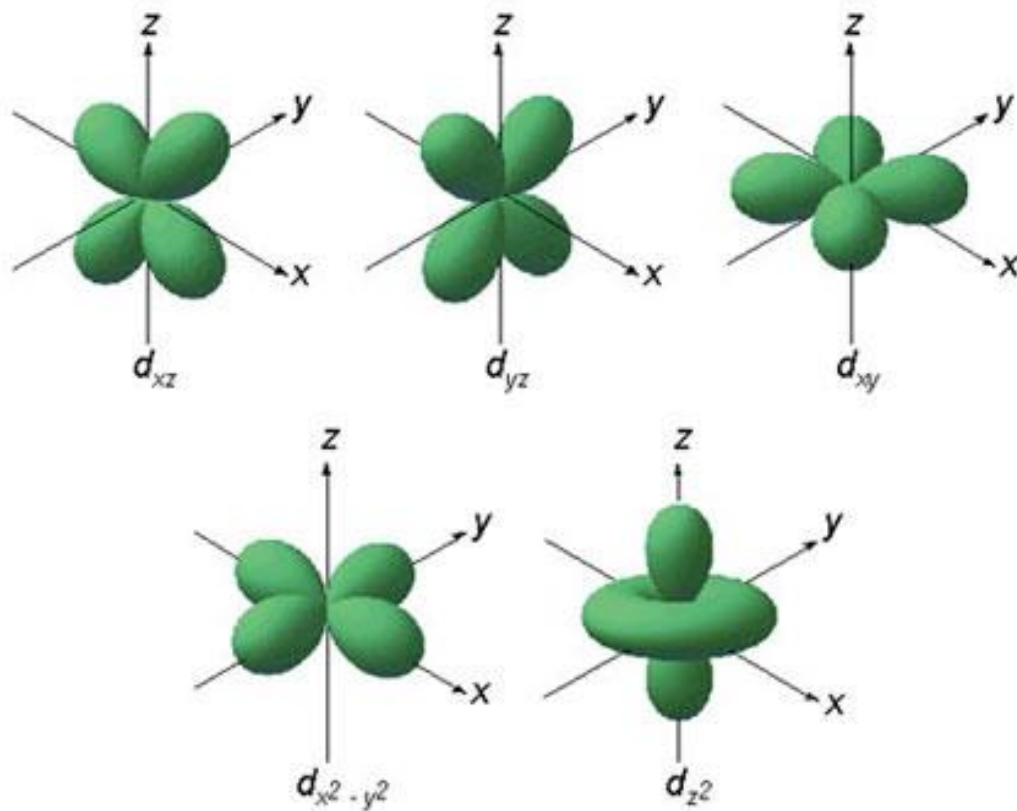


- Teorija valentne veze **može**
  - ✓ objasniti stereokemijska i magnetska svojstva kompleksa na najjednostavnijem nivou
- Teorija valentne veze **ne može**
  - ❑ objasniti spektroskopska svojstva kao i kinetičku inertnost karakterističnu za niskospinske  $d^6$  konfiguracije
  - ❑ ne daje zadovoljavajuće tumačenje niskospinskih i visokospinskih kompleksa tj. ne može objasniti zašto neki ligandi s metalnim ionima daju visokospinske odnosno niskospinske komplekse

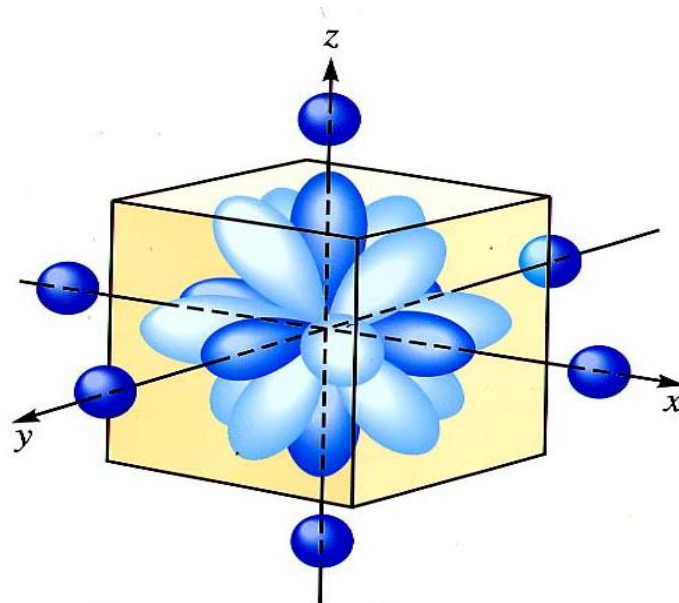
## ➤ Teorija kristalnog polja

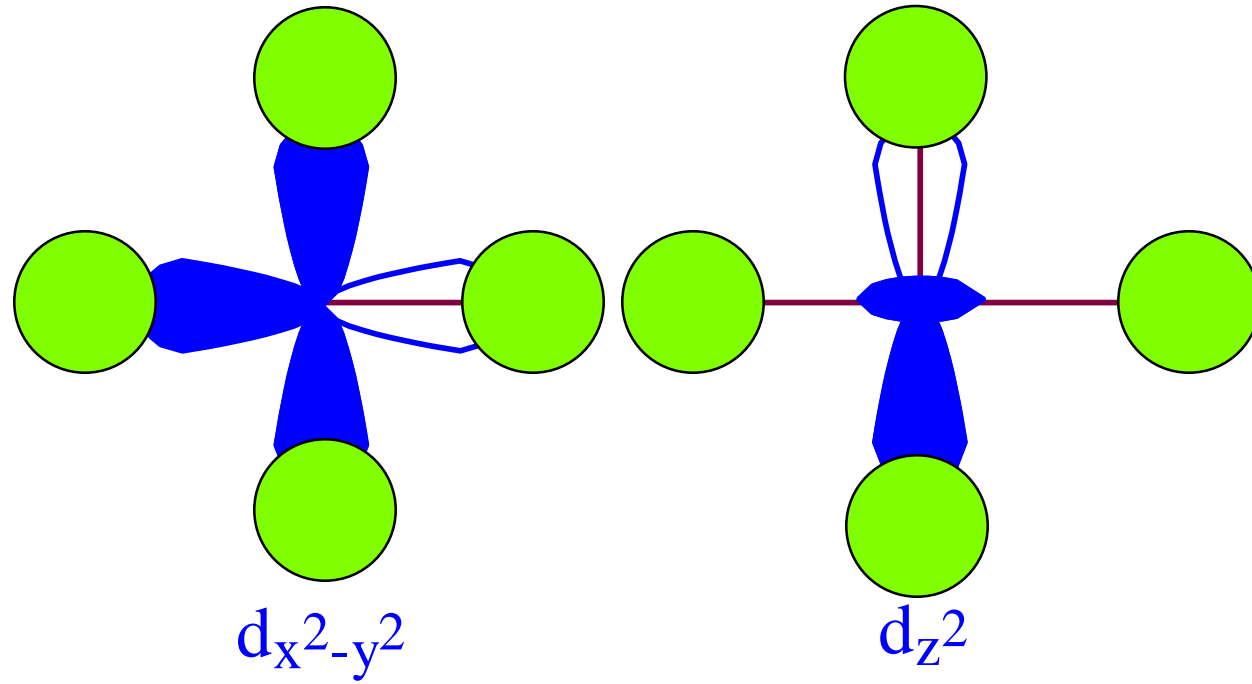
Elektrostatski model- elektroni liganada stvaraju električno polje oko metalnog centra

- Elektrostatske interakcije između metalnog iona i liganada; nema kovalentnih interakcija metal-ligand
- Jače odbijanja između nekih d-orbitala centralnog metalnog iona i liganada → objašnjava magnetska svojstva i boju
- d-orbitale u metalnom kompleksu nisu degenerirane (iste energije); cijepanje d-orbitala u kristalnom polju određeno je tipom i razmještajem liganada

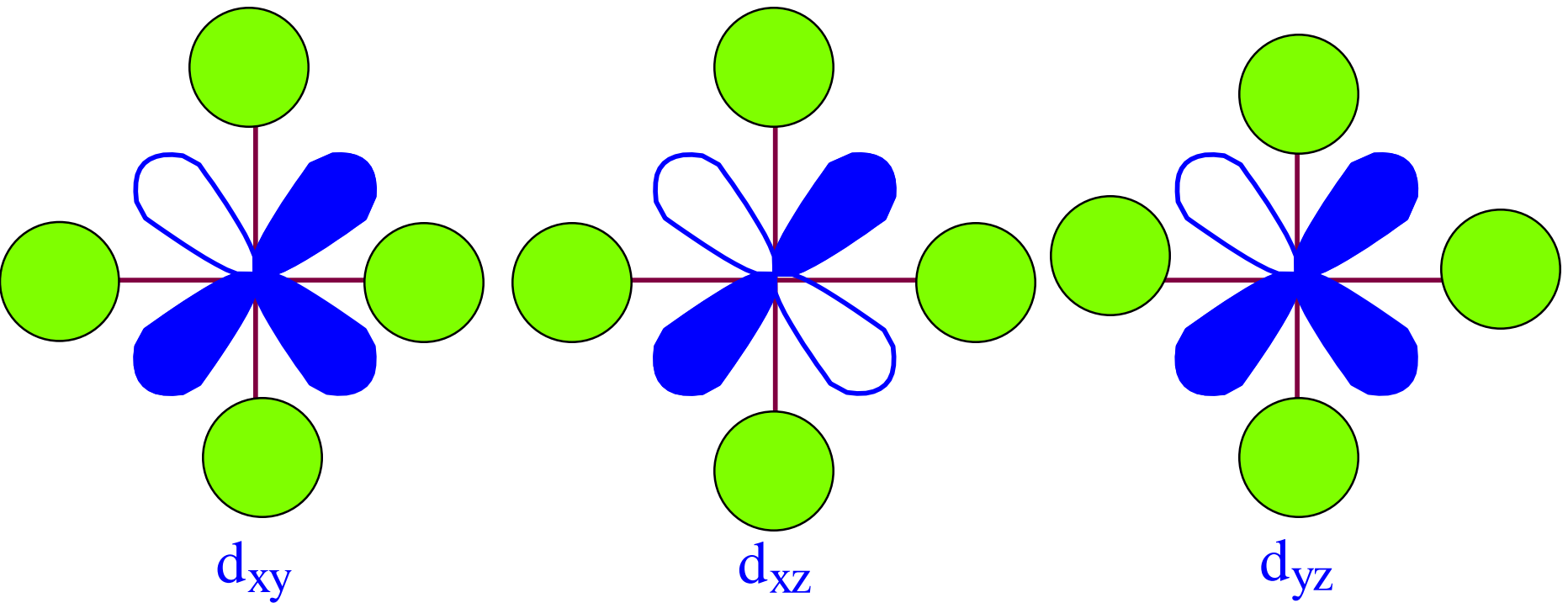


➤ Kada bi se d-orbitale nalazile pod utjecajem sfernog ligandnog polja sve bi imale jednaku energiju



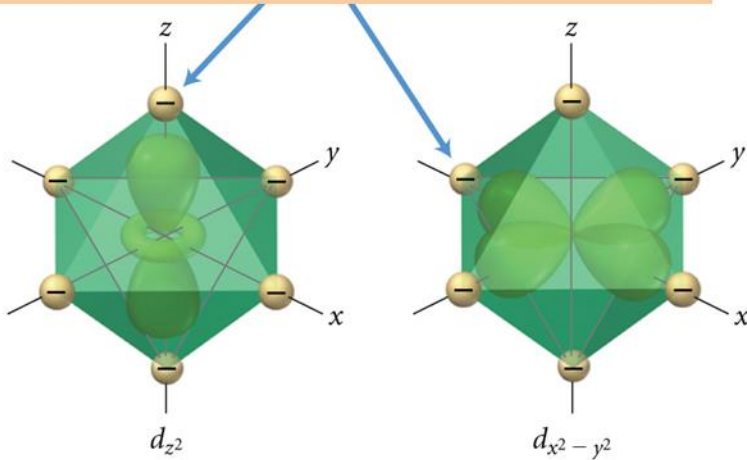


veće elektrostatske repulzije = viša potencijalna energija

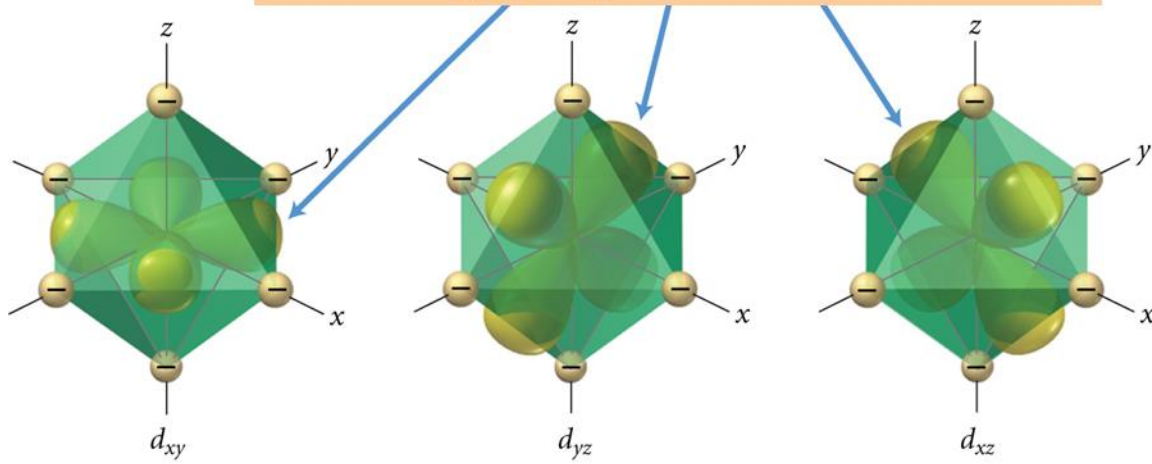


leže između osi

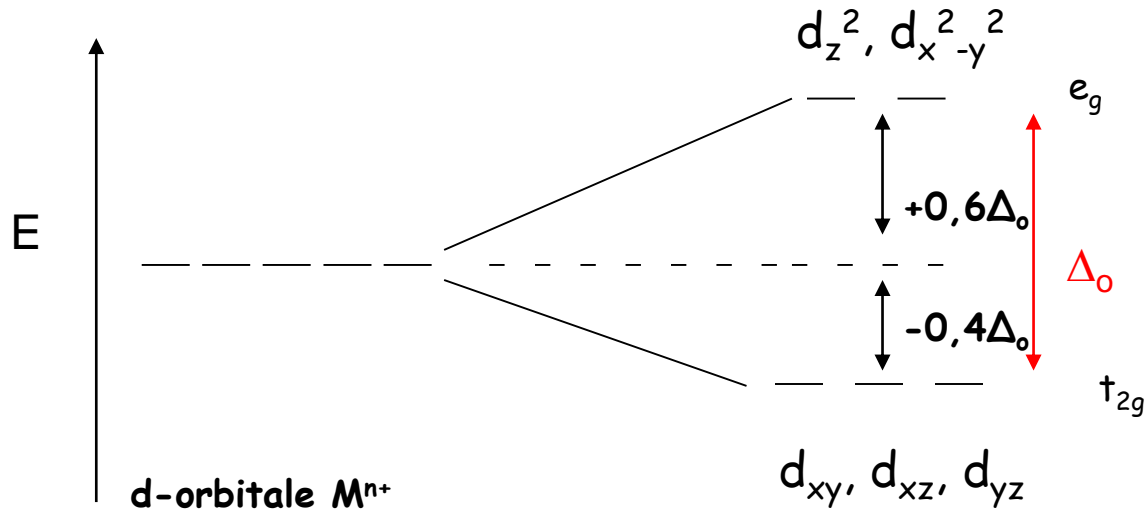
### Jaka odbijanja ligandi-d-orbitale metala



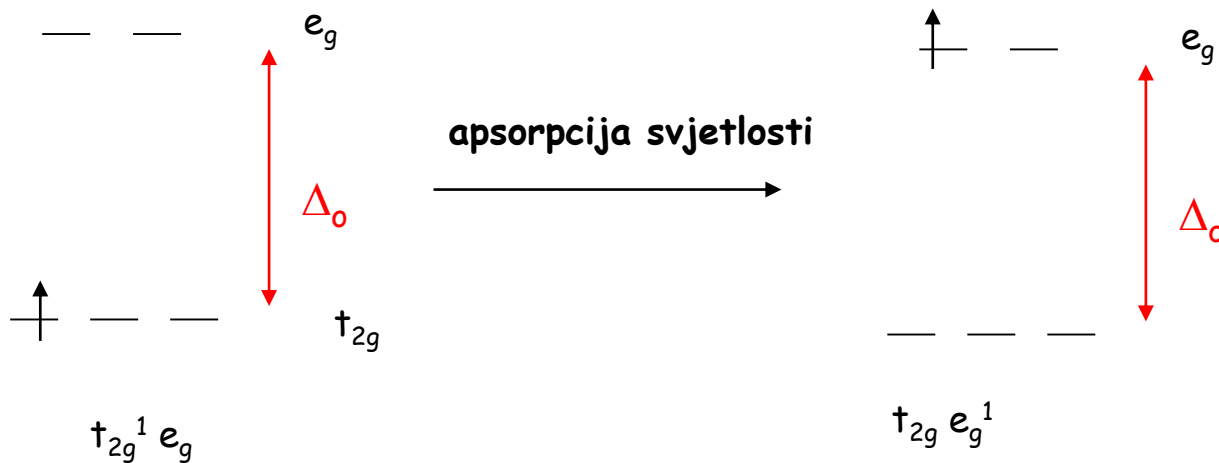
### Slaba odbijanja ligandi-d-orbitale metala



# d-orbitale metalnog iona u oktaedarskom kristalnom polju



- $\Delta_0$  - energija separacije između nivoa ( $t_{2g}$  i  $e_g$ ); vrijednost se može dobiti na osnovi podataka elektronskih spektara
- $[\text{Ti}(\text{H}_2\text{O})_6]^{3+} \rightarrow \text{d}^1$ :  $t_{2g}^1 e_g$



$$E = h\nu = h c \frac{1}{\lambda} \approx kT \quad 1/\lambda_{\text{maks}} = 20.300 \text{ cm}^{-1} = 243 \text{ kJmol}^{-1} \rightarrow$$

$$1 \text{ cm}^{-1} = 11,96 \cdot 10^{-3} \text{ kJmol}^{-1}$$

- Faktori koji određuju veličinu  $\Delta_o$ :
  - ❖ oksidacijsko stanje metalnog iona
  - ❖ priroda liganada
- Za oktaedarske komplekse,  $\Delta_o$  raste u nizu liganada poznatom kao **spektrokemijski niz liganada**:



slabo ligandno polje



jako ligandno polje

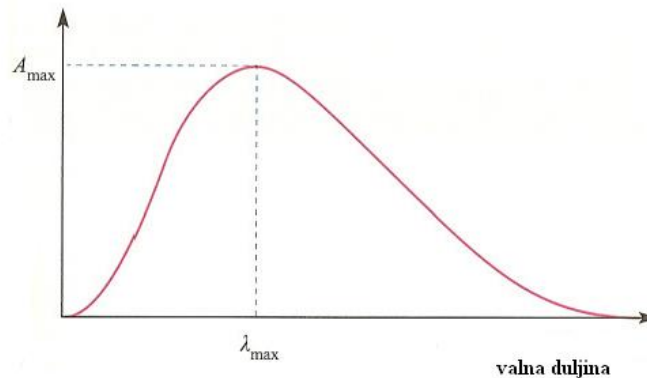
## ELEKTRONSKI SPEKTRI

- ❖ podatci o strukturi i vezama
- ❖ apsorpcija posljedica:
  1. Prijelazi između d-orbitala metalnog kationa:  $d \rightarrow d$  prijelazi
  2. Prijelazi između orbitala metala i liganda:  $M \rightarrow L$  ili  $L \rightarrow M$  prijelazi (*CT → "charge transfer"- prijenos naboja*)
- ❖ Intenzitete apsorpcije:  $CT > d \rightarrow d$

❖ Apsorpcijske vrpce široke → molekulske vibracije i rotacije sporije od apsorpcije fotona

( $\approx 10^{-18}$  s)

❖  $\varepsilon_{\text{maks}} = A_{\text{maks.}} / c \times l$  [dm<sup>3</sup> mol<sup>-1</sup> cm<sup>-1</sup>]



Elektronski prijelazi → selekcijska pravila

Spinsko:  $\Delta S = 0$  (singlet → singlet; triplet → triplet; promijena spinskog multipliciteta zabranjena)

Laporteovo:  $\Delta l = \pm 1 \rightarrow$  dozvoljeni prijelazi -  $g \leftrightarrow u$

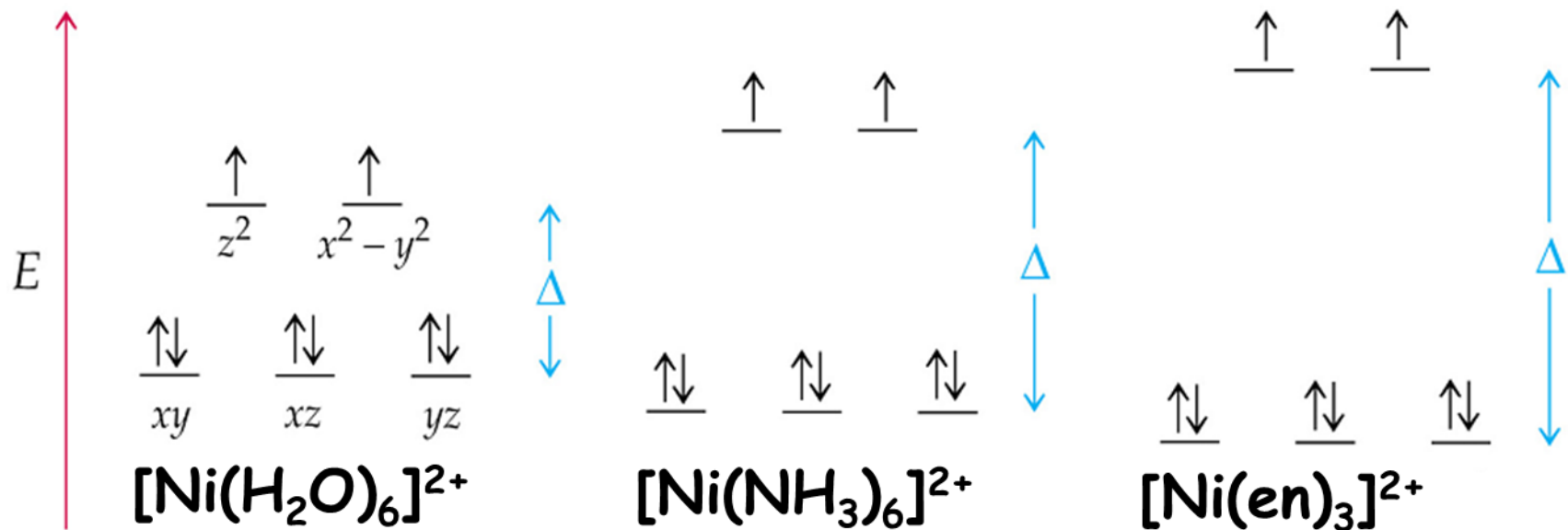
zabranjeni prijelazi -  $g \leftrightarrow g$  i  $u \leftrightarrow u$

Slijedi da su dozvoljeni prijelazi  $s \rightarrow p$ ,  $p \rightarrow d$ ,  $d \rightarrow f$  a zabranjeni  $s \rightarrow s$ ,  $p \rightarrow p$ ,  $d \rightarrow d$ ,  $s \rightarrow d$  itd.

"d - d dozvoljeni" prijelazi: mehanizam "vibronic coupling"  
 (sprega vibracijske i elektronske energije) → uslijed molekulskih  
 vibracija dolazi do privremenog **gubitka simetrije (centra)** → **miješanje**  
**d i p orbitala** (vrijeme vibracije  $10^{-13}$  s → vrijeme elektronskog  
 prijelaza  $10^{-18}$  s): orbitale imaju **pd** karakter (apsorpcija slaba;  
 kod tetraedra jači pd karakter-kompleksi intenzivnije obojeni)

Vrsta prijelaza	$\epsilon_{\text{maks.}} / \text{dm}^3 \text{ mol}^{-1} \text{ cm}^{-1}$	Primjeri
Spin-zabranjen	< 1	$[\text{Mn}(\text{H}_2\text{O})_6]^{2+}$ (visokospinski d <sup>5</sup> )
Laporte-zabranjen, spin-dozvoljen "d-d"	1-10 10-1000	Centrosimetrični kompleks $[\text{Ti}(\text{H}_2\text{O})_6]^{3+}$ , d <sup>1</sup> Necentrosimetrični kompleks $[\text{NiCl}_4]^{2-}$ , d <sup>8</sup>
Prijenos naboja	1000-50 000	$[\text{MnO}_4]^-$

Oktaedarski kompleksni ioni  $[\text{NiX}_6]^{2+} \rightarrow \text{d}^8$



- Kompleksi Cr(III) primjer su efekta različitih liganada na jakost polja za dati  $M^{n+}$  ion
- Kompleksi Fe(II) i Fe(III) ukazuju na utjecaj oksidacijskog stanja metala na porast  $\Delta_o$  (isti ligand)

Kompleks	$\Delta / \text{cm}^{-1}$	Kompleks	$\Delta / \text{cm}^{-1}$
$[\text{V}(\text{H}_2\text{O})_6]^{3+}$	17850	$[\text{Cr}(\text{NH}_3)_6]^{3+}$	21600
$[\text{V}(\text{H}_2\text{O})_6]^{2+}$	12400	$[\text{Cr}(\text{CN})_6]^{3-}$	26600
$[\text{Fe}(\text{H}_2\text{O})_6]^{3+}$	13700	$[\text{Co}(\text{en})]^{3+}$	24000
$[\text{Fe}(\text{H}_2\text{O})_6]^{2+}$	9400	$[\text{Co}(\text{H}_2\text{O})_6]^{3+}$	18200
$[\text{Fe}(\text{CN})_6]^{3-}$	35000	$[\text{Ni}(\text{H}_2\text{O})_6]^{2+}$	8500
$[\text{Fe}(\text{CN})_6]^{4-}$	33800	$[\text{Ni}(\text{NH}_3)_6]^{2+}$	10800
		$[\text{Ni}(\text{en})]^{2+}$	11500
$[\text{Co}(\text{NH}_3)_6]^{3+}$	22900		
$[\text{Co}(\text{NH}_3)_6]^{2+}$	10200		

# Utjecaj veličine $\Delta$ na boju kompleksa

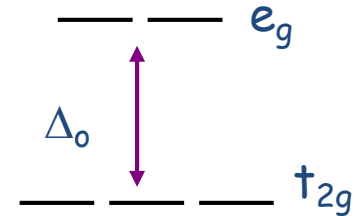
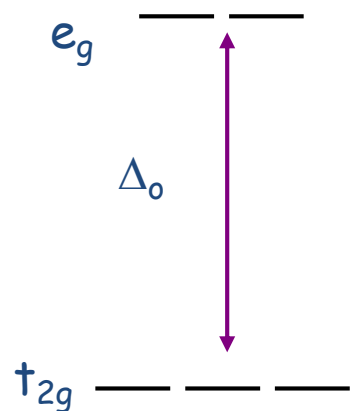
1. Za dani ligand ovisi o oksidacijskom stanju metala



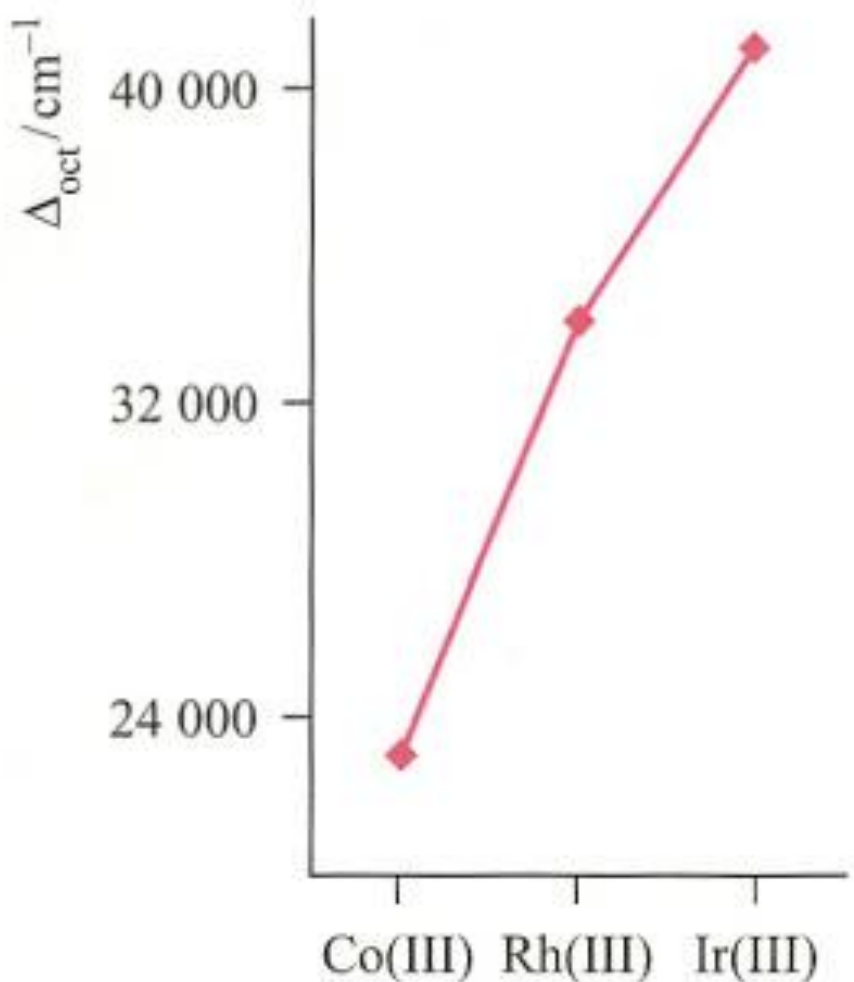
$V(III) = d^2$  ion



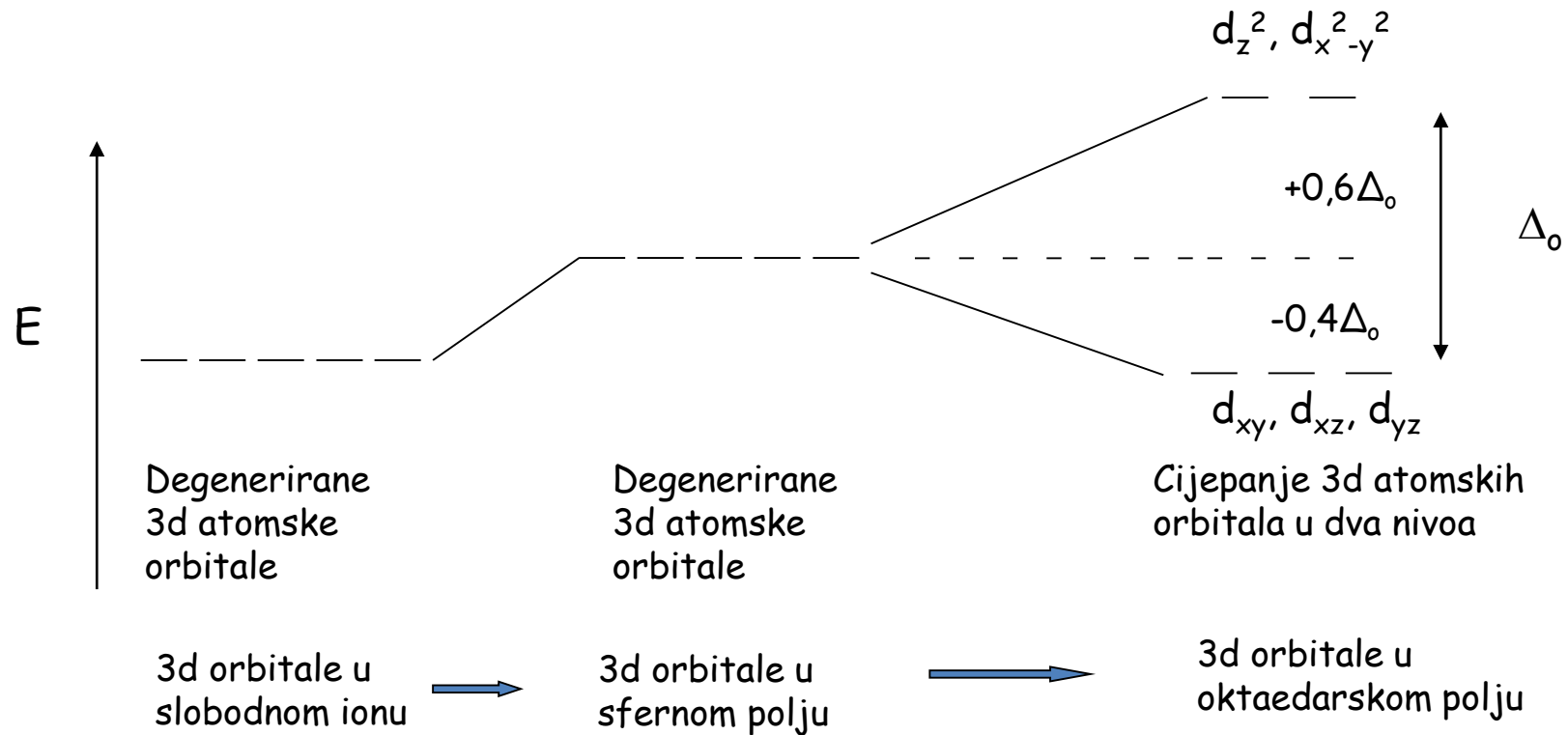
$V(II) = d^3$  ion



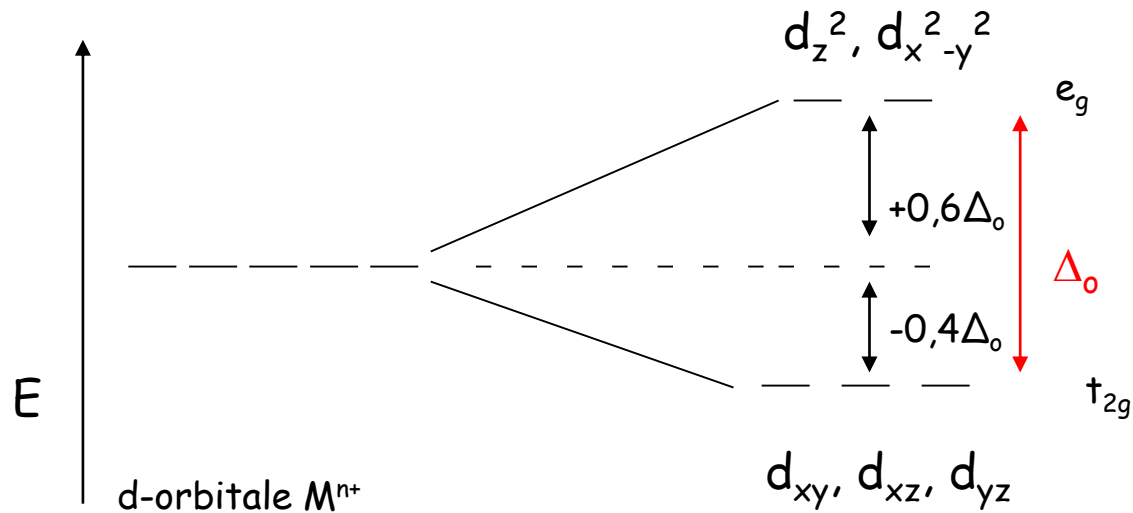
- Za analogne komplekse u seriji  $M^{n+}$  metalnih iona trijade,  $\Delta_o$  raste značajno odozgo prema dolje



➤ Za danu elektronsku konfiguraciju CFSE je razlika u energiji između elektrona u oktaedarskom kristalnom polju i sfernom kristalnom polju



# ➤ Energija stabilizacije kristalnog polja: visokospinski i niskospinski kompleksi



Za elektronsku konfiguraciju  $d^1 (t_{2g}^1 e_g)$  = energija stabilizacije kristalnog polja iznosi (*CFSE*) =  $-0,4\Delta_0$

Za elektronsku konfiguraciju  $d^2 (t_{2g}^2 e_g) \rightarrow CSFE = -0,8\Delta_0 [-(2 \times 0,4) \Delta_0]$

Za elektronsku konfiguraciju  $d^3 (t_{2g}^3 e_g) \rightarrow CSFE = -1,2\Delta_0 [-(3 \times 0,4) \Delta_0]$

## NISKOSPINSKA KONFIGURACIJA

Za elektronsku konfiguraciju  $d^4 (t_{2g}^4 e_g)$  → CSFE =  $-1,6\Delta_0 [-(4 \times 0,4) \Delta_0]$

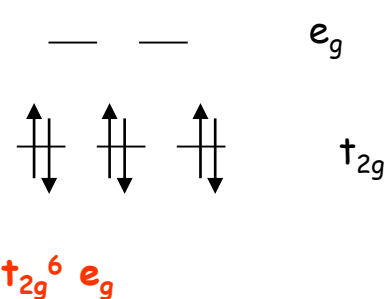
## VISOKOSPINSKA KONFIGURACIJA

Za elektronsku konfiguraciju  $d^4 (t_{2g}^3 e_g^1)$  → CSFE =  $-0,6\Delta_0 [-(3 \times 0,4) \Delta_0 + 0,6 \Delta_0]$

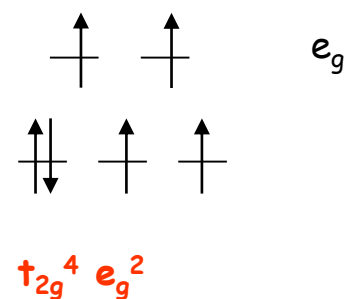
Za elektronsku konfiguraciju  $d^6$

NISKOSPINSKA KONFIGURACIJA:  $(t_{2g}^6 e_g)$  → CSFE =  $-2,4\Delta_0 [-(6 \times 0,4) \Delta_0]$

VISOKOSPINSKA KONFIGURACIJA:  $(t_{2g}^4 e_g^2)$  → CSFE =  $-0,4\Delta_0 [-(4 \times 0,4) \Delta_0 + (2 \times 0,6 \Delta_0)]$

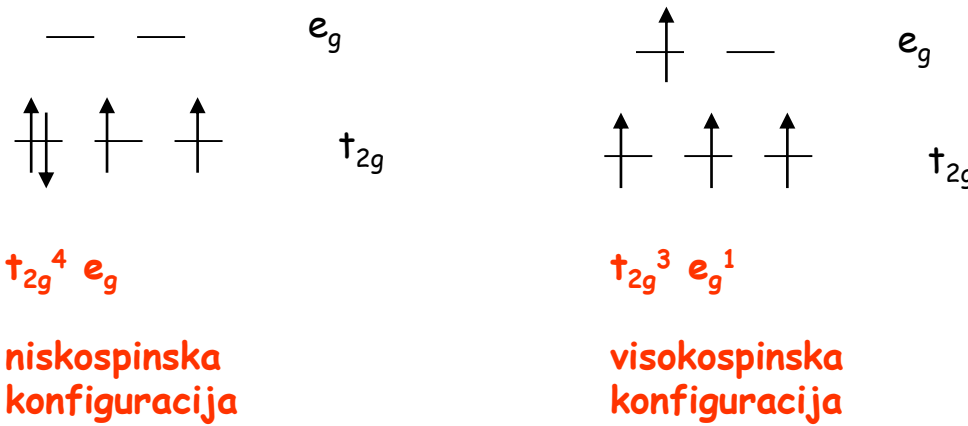


niskospinska  
konfiguracija  
3P (tri para  
elektrona)



visokospinska  
konfiguracija  
1P (jedan par  
elektrona)

Za elektronsku konfiguraciju  $d^4$  moguća su dva razmještaja elektrona:  
 $t_{2g}^4 e_g$  ili  $t_{2g}^3 e_g^1$



Preferirana konfiguracija biti će ona niže energije i ovisiti će o tome je li povoljnije sparivanje četvrtog elektrona ili njegov prelazak u  $e_g$  nivo

Energija sparivanja elektrona, P: energija potrebna za prelazak dvaju elektrona s paralelnim spinovima u različitim orbitala u spin-sparene elektrone u istoj orbitali.

**Energija sparivanja elektrona, P:** energija potrebna za prelazak dvaju elektrona s paralelnim spinovima u različitim orbitala u spin-sparene elektrone u istoj orbitali

- ❖ gubitak energije izmjene uslijed sparivanja elektrona



Odbijanja između elektrona s antiparalelnim spinovima su veća nego ukoliko imaju paralelne spinove

Razlika u energiji između ove dvije konfiguracije naziva se **energijom izmjene, K** (dodatna stabilnost elektronske konfiguracije **II** u odnosu na konfiguraciju **I**)

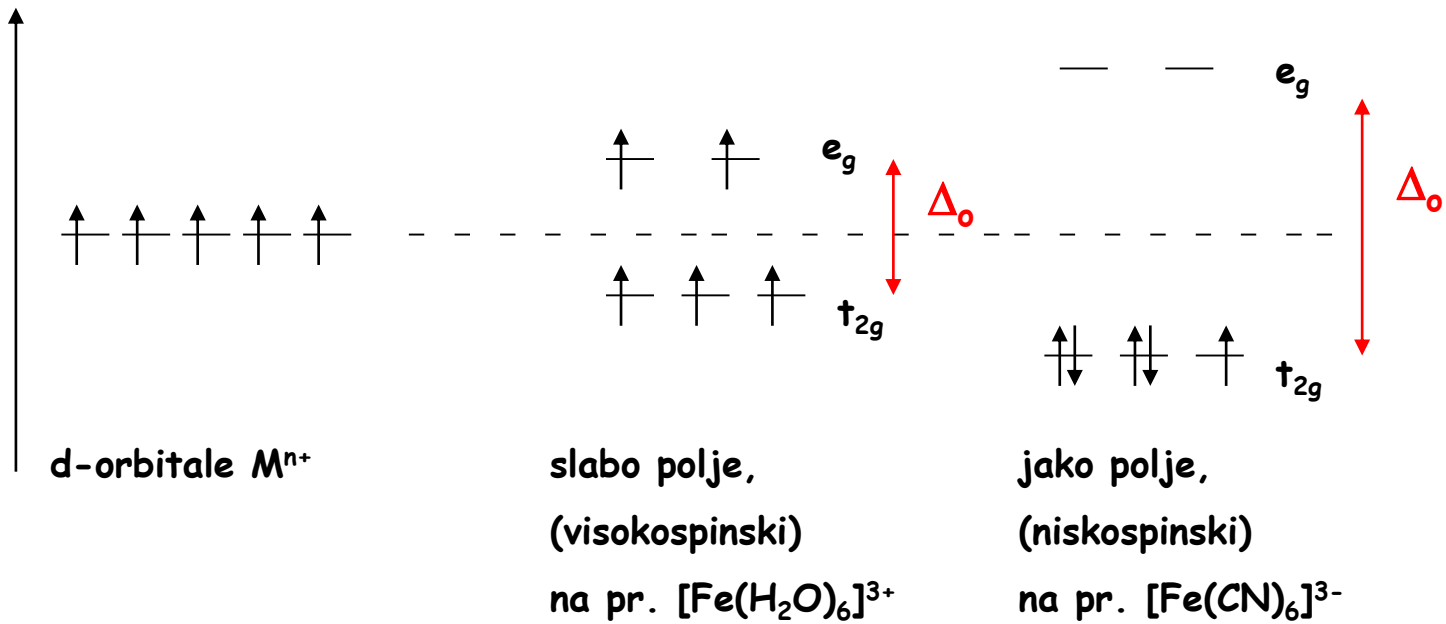
Ukupnu energiju izmjene K (ovisi o atomu ili ionu) možemo prikazati izrazom.

$$\text{Energija izmjene} = \sum \frac{N(N-1)}{2} = K$$

N = broj elektrona s paralelnim spinom

- ❖ elektrostatska odbijanja između spin-sparenih elektrona

visokospinski = niskospinski =				
$d^n$	slabo polje		jako polje	
	Elektronska konfiguracija	CSFE	Elektronska konfiguracija	CSFE
$d^1$	$t_{2g}^1 e_g^0$	$-0,4\Delta_o$		
$d^2$	$t_{2g}^2 e_g^0$	$-0,8\Delta_o$		
$d^3$	$t_{2g}^3 e_g^0$	$-1,2\Delta_o$		
$d^4$	$t_{2g}^3 e_g^1$	$-0,6\Delta_o$	$t_{2g}^4 e_g^0$	$-1,6\Delta_o + P$
$d^5$	$t_{2g}^3 e_g^2$	0	$t_{2g}^5 e_g^0$	$-2,0\Delta_o + 2P$
$d^6$	$t_{2g}^4 e_g^2$	$-0,4\Delta_o$	$t_{2g}^6 e_g^0$	$-2,4\Delta_o + 2P$
$d^7$	$t_{2g}^5 e_g^2$	$-0,8\Delta_o$	$t_{2g}^6 e_g^1$	$-1,8\Delta_o + P$
$d^8$	$t_{2g}^6 e_g^2$	$-1,2\Delta_o$		
$d^9$	$t_{2g}^6 e_g^3$	$-0,6\Delta_o$		
$d^{10}$	$t_{2g}^6 e_g^4$	0		



Visokospinski  $\Delta_o < P$

Niskospinski  $\Delta_o > P$

## ➤ Jahn-Tellerova deformacija

**Jahn-Tellerov teorem:** svi nelinearni molekulski sustavi u degeneriranom elektronskom stanju biti će nestabilni i podložni deformaciji u smislu stvaranja sustava niže simetrije i niže energije.

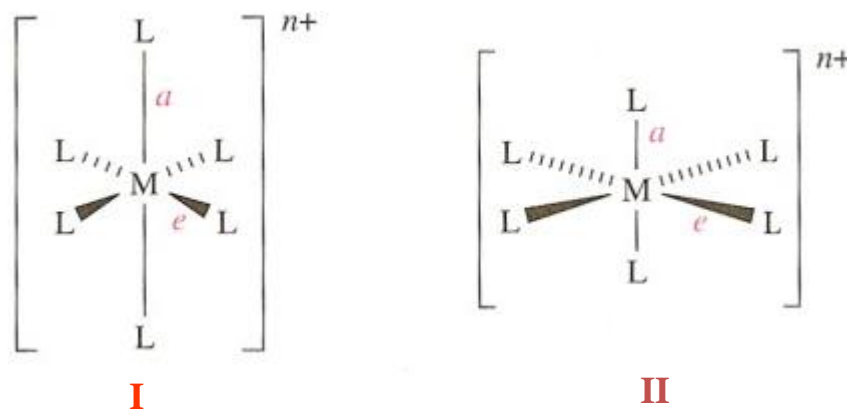
- ❖ Oktaedarski kompleksi :  $d^9$  i visokospinski  $d^4$

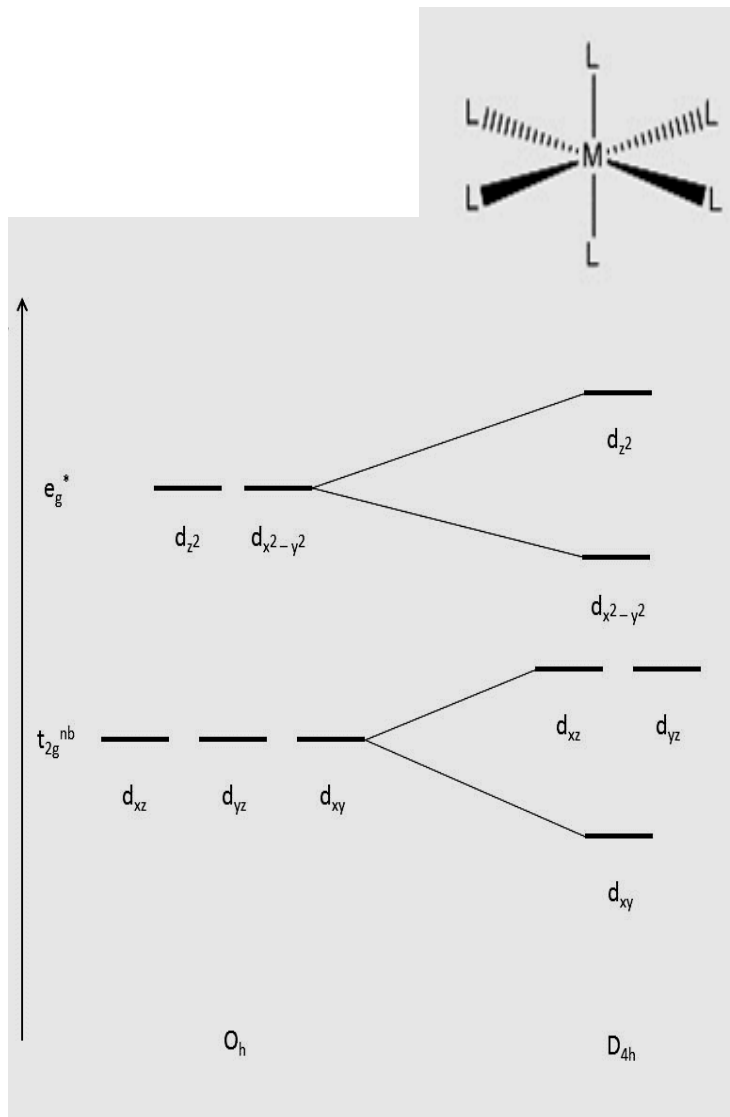
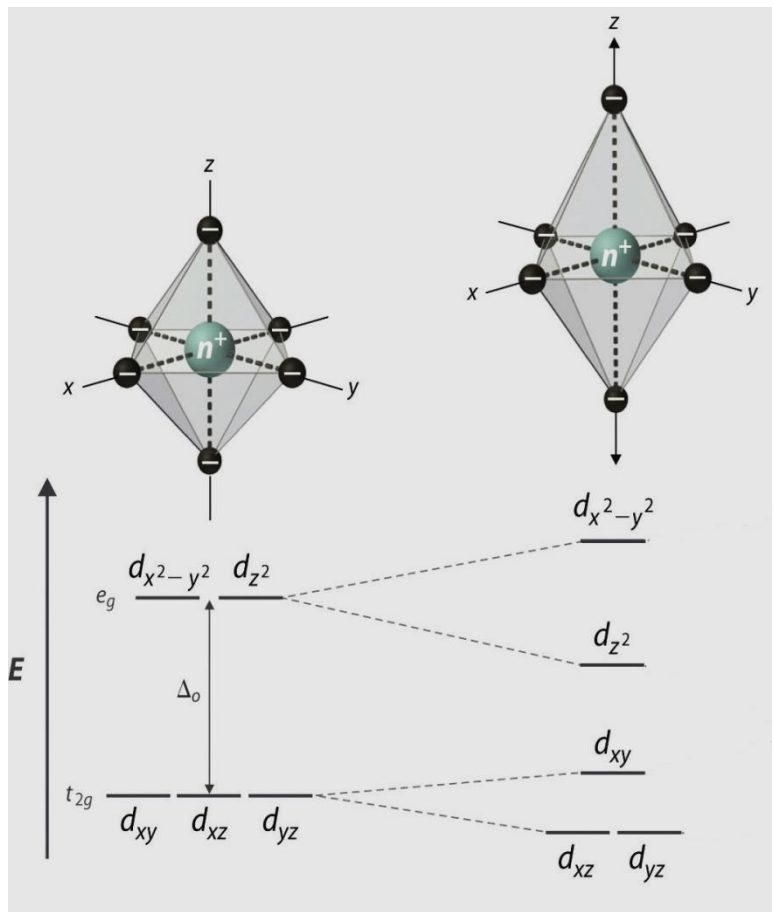
Izduženi oktaedar  $a > e$  za  $d^4$  ( $t_{2g}^3 e_g^1$ )

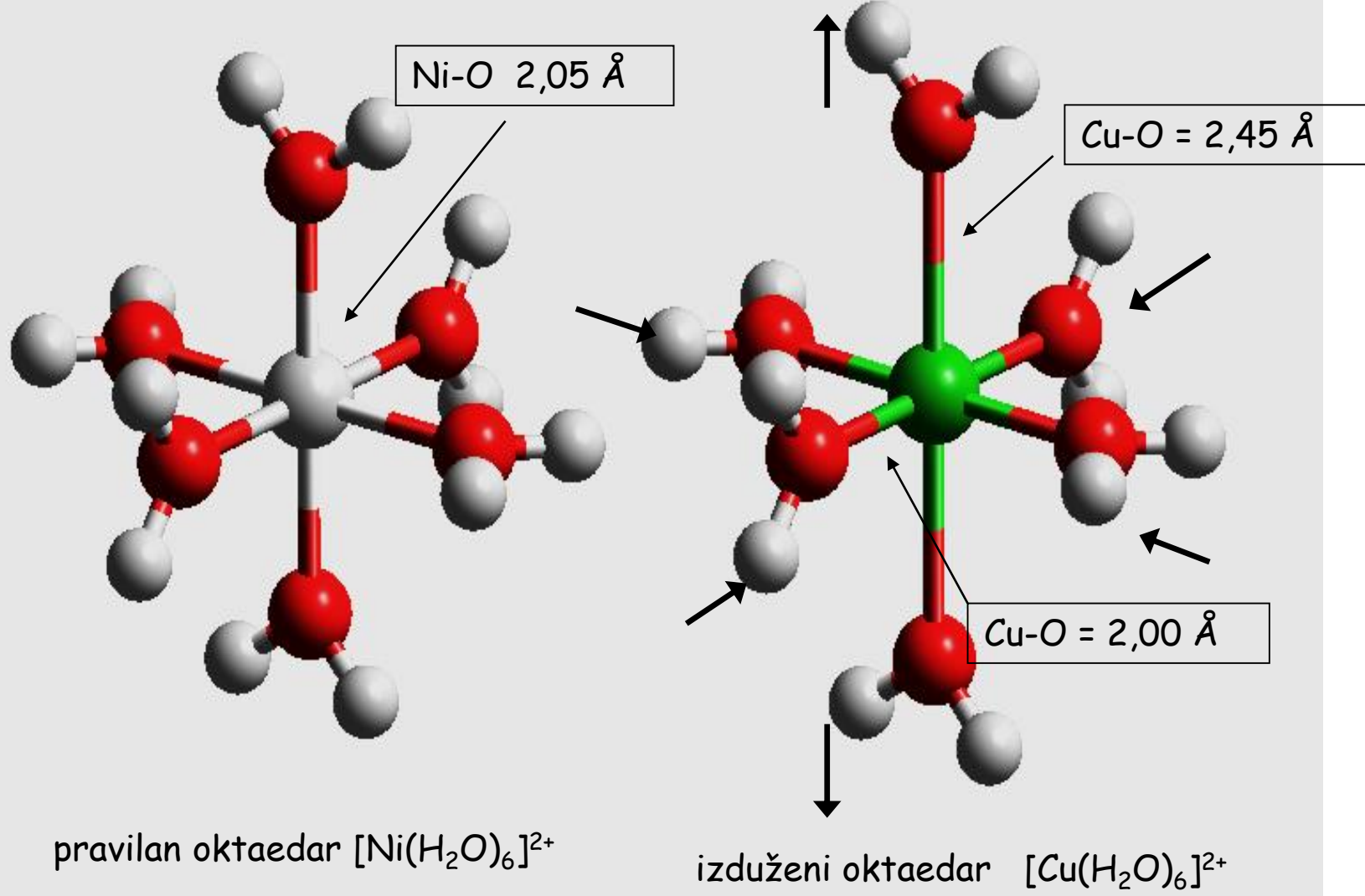
-ako je  $e_g$  elektron u  $d_z^2$  orbitali tada su elektronske repulzije duž z-osi velike i dolazi do izduženja oktaedra duž z-osi (I);

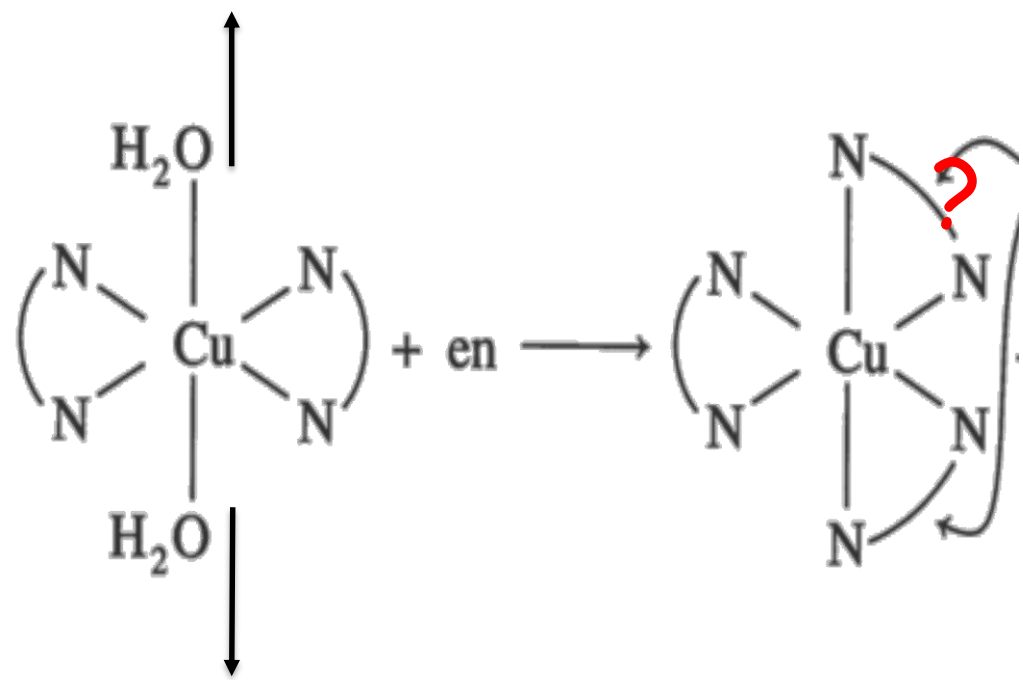
Spljošteni oktaedar  $e < a$  za  $d^4$  ( $t_{2g}^3 e_g^1$ )

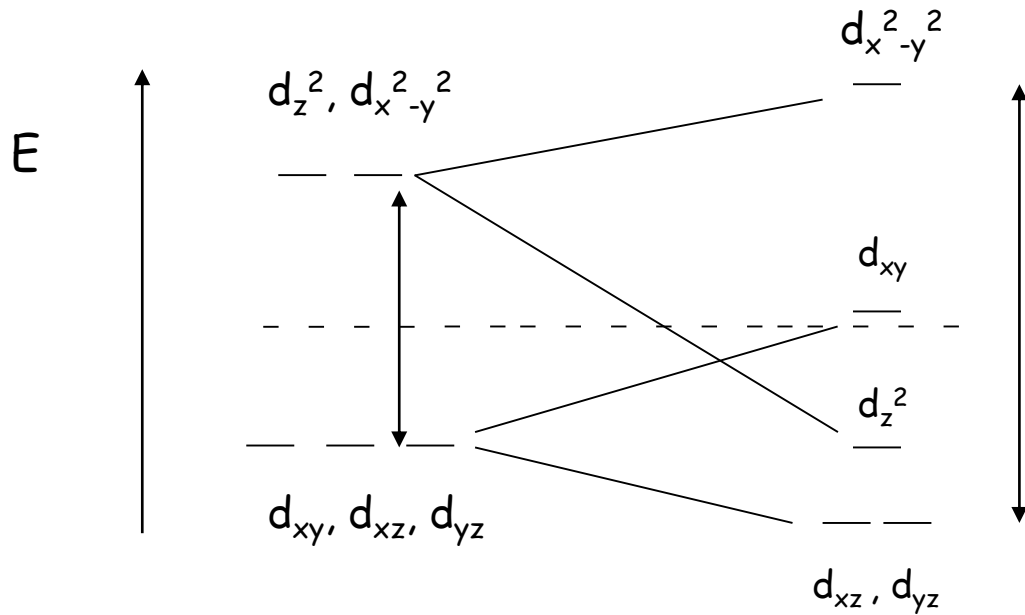
-ako je elektron smješten u  $d_x^2 - y^2$  orbitali tada će doći do produljenja duž x i y osi (II)









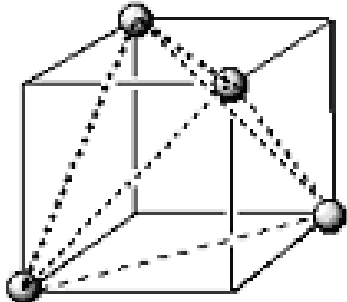


3d orbitale u  
oktaedarskom polju

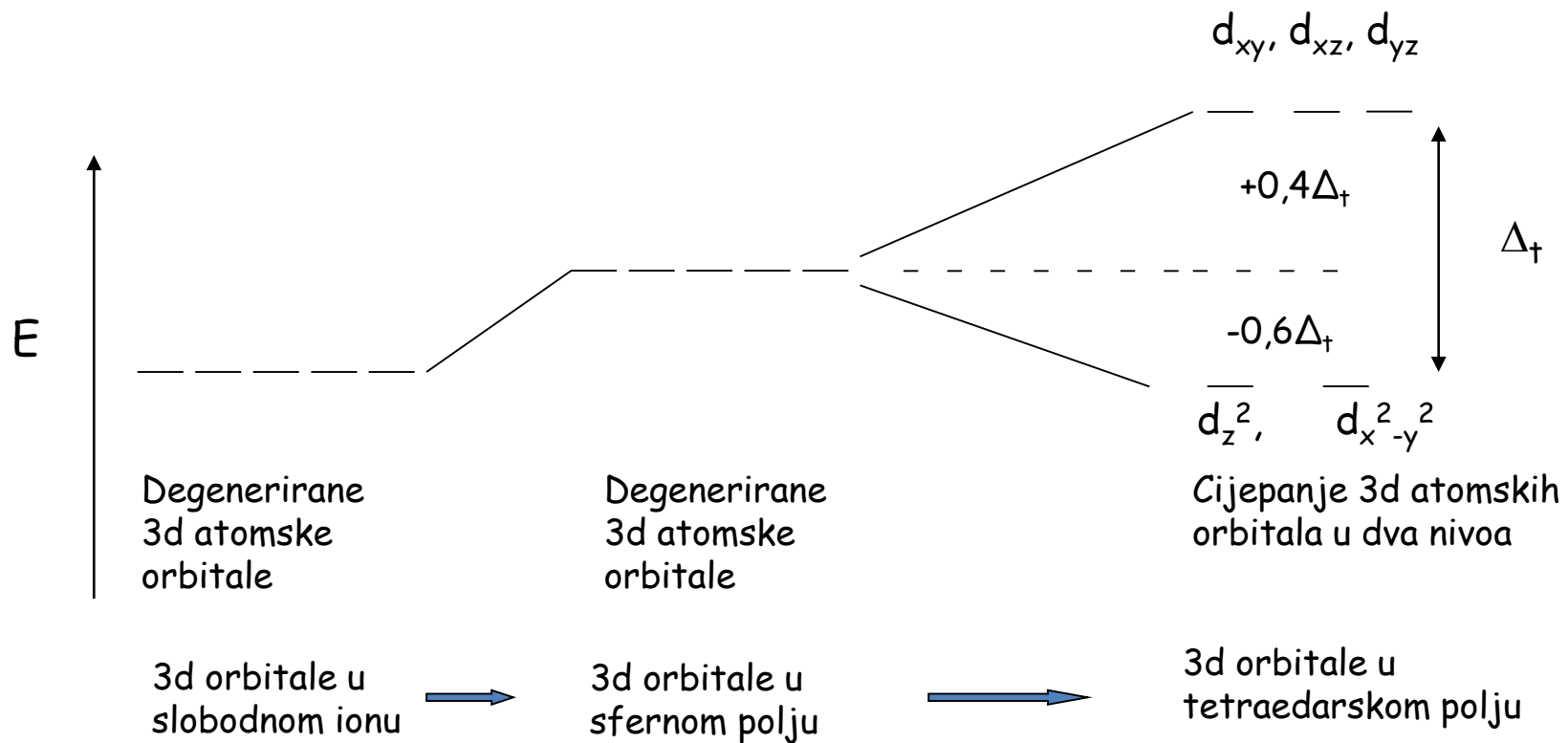


3d orbitale u  
kvadratnom polju

$$\Delta_k = 1,5 \Delta_o \quad \text{kvadratni kompleksi dijamagnetični, na pr. } d^8 \ [Ni(CN)_4]^{2-}$$



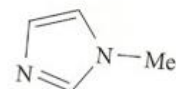
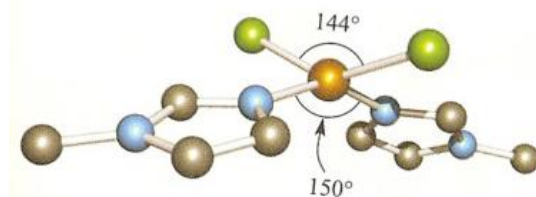
## Tetraedarsko kristalno polje



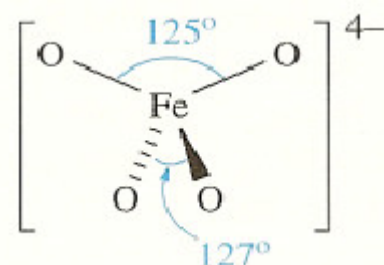
$\Delta_t = 4/9 \Delta_o \approx \frac{1}{2} \Delta_o \rightarrow$  tetraedarski kompleksi visokospinski

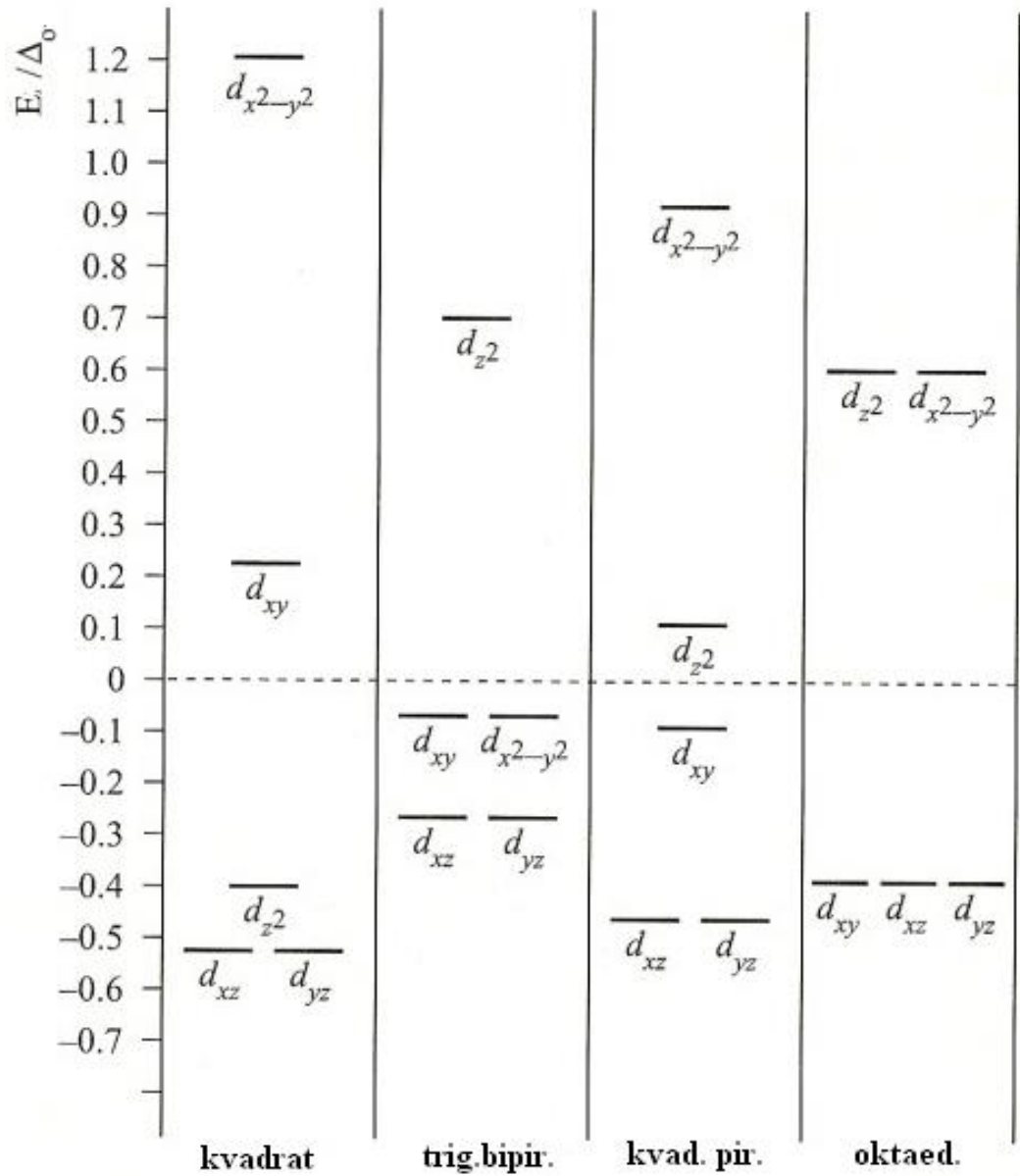
$$d_z^2, d_{x^2-y^2} = e \quad d_{xy}, d_{xz}, d_{yz} = t_2$$

Jahn-Tellerov efekt:  $d^9 [CuCl_4]^{2-}$  ili  $[CuCl_2L_2]$



Visokospinski  $d^4$  kompleksi: jaka deformacija kod  $[FeO_4]^{4-}$

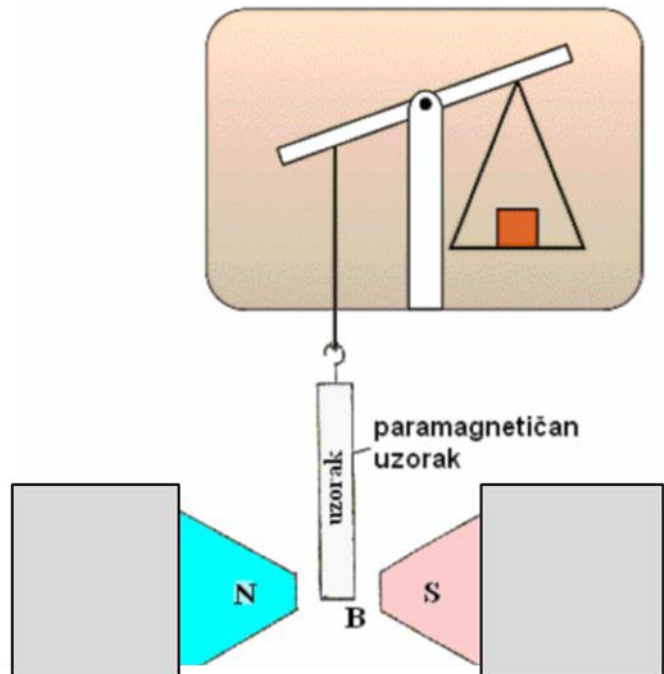
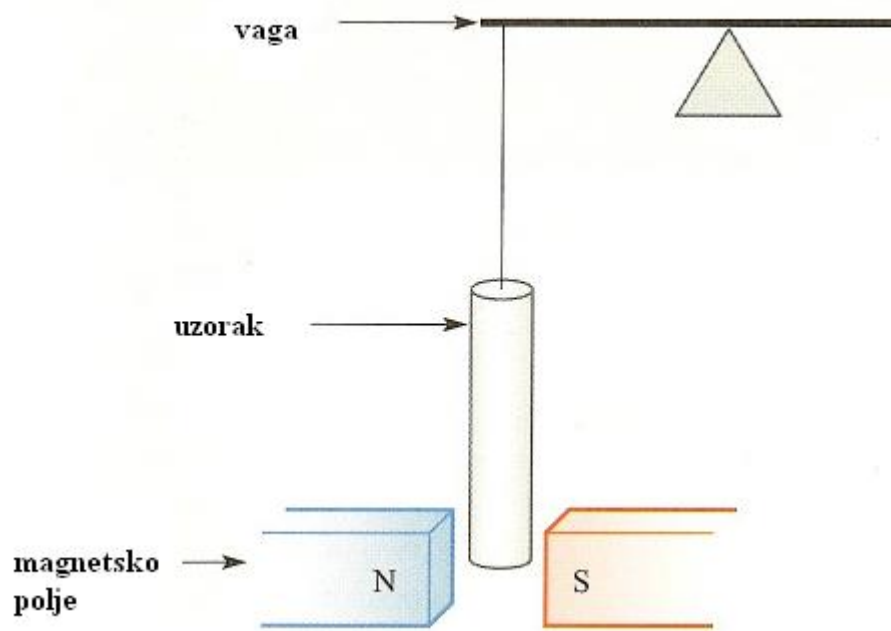




# MAGNETSKA SVOJSTVA

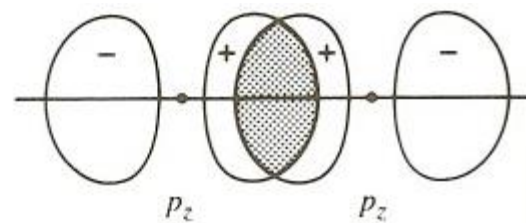
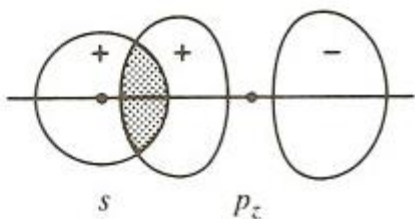
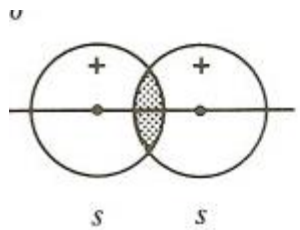
Paramagnetizam: posljedica nesparenih elektrona

$$\mu = [n(n + 2)]^{1/2}$$

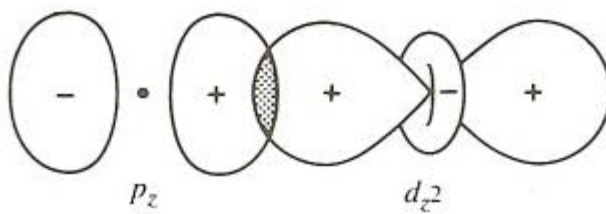
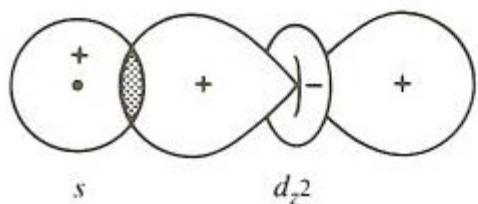
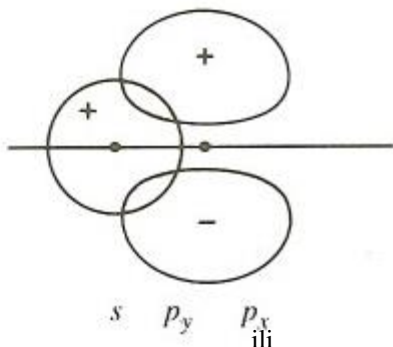


<b>d<sup>n</sup></b>	<b>S</b>	<b>μ<sub>(računato)</sub></b>	<b>μ<sub>(eksperim.)</sub></b>
$d^0$	0	0	0
$d^1$	$\frac{1}{2}$	1.73	1.7–1.8
$d^2$	1	2.83	2.8–3.1
$d^3$	$\frac{3}{2}$	3.87	3.7–3.9
$d^4$	2	4.90	4.8–4.9
$d^5$	$\frac{5}{2}$	5.92	5.7–6.0
$d^6$	2	4.90	5.0–5.6
$d^7$	$\frac{3}{2}$	3.87	4.3–5.2
$d^8$	1	2.83	2.9–3.9
$d^9$	$\frac{1}{2}$	1.73	1.9–2.1
$d^{10}$	0	0	0

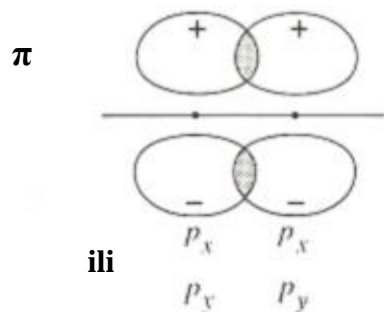
## Nastajanje $\sigma$ veze



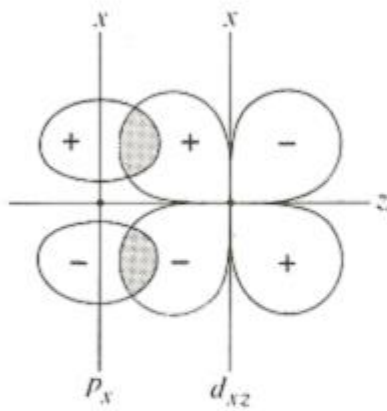
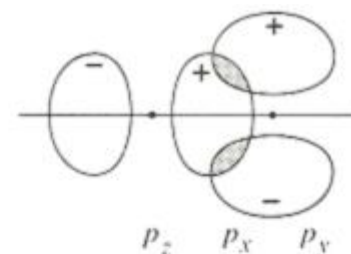
Ne nastaje  $\sigma$  veza



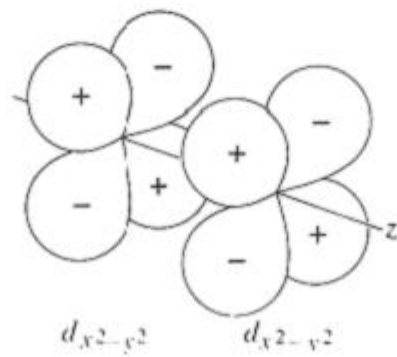
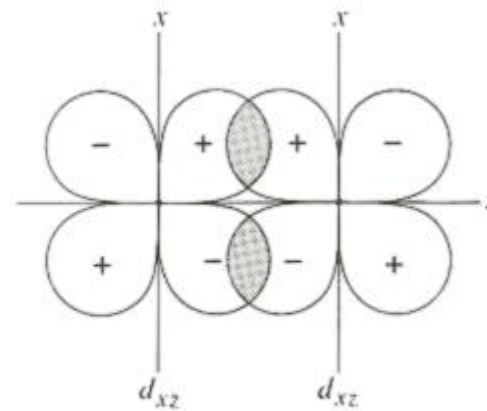
## Nastajanje $\pi$ veze



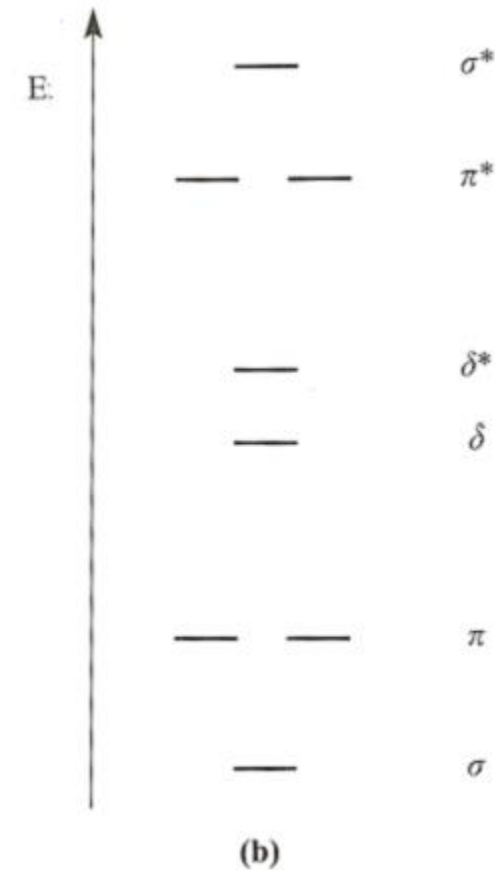
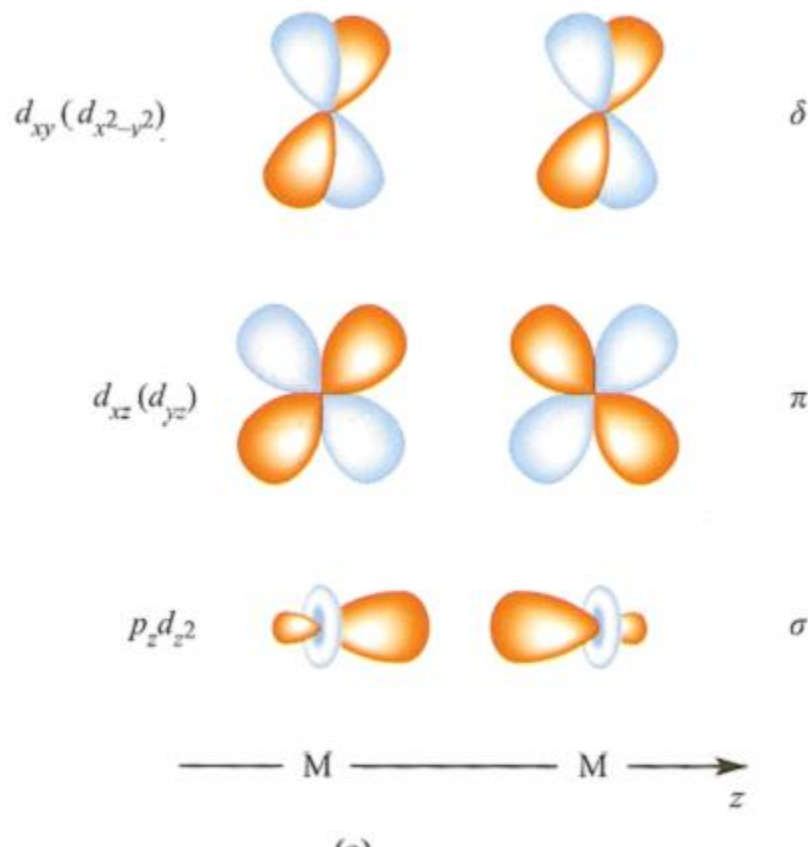
ali ne

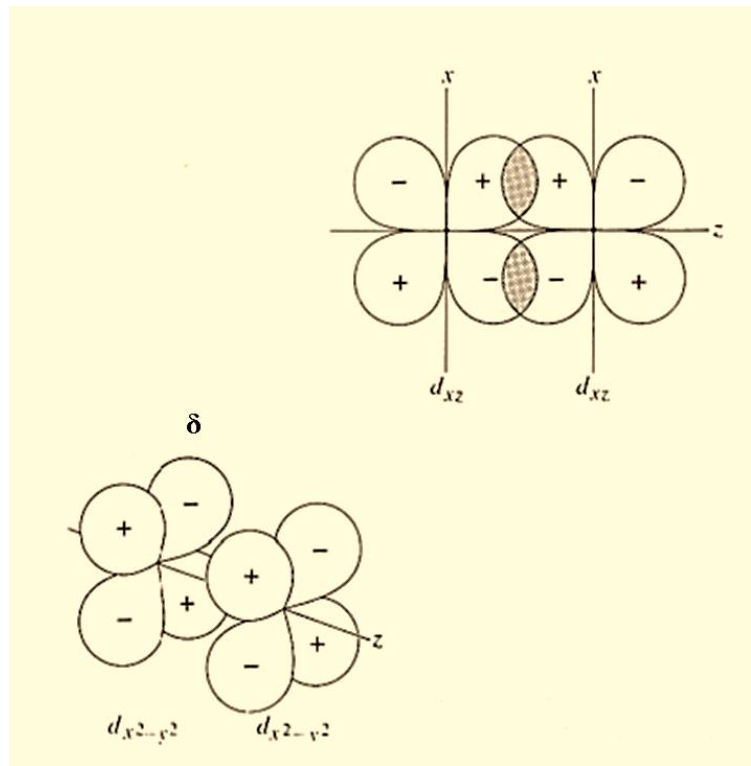


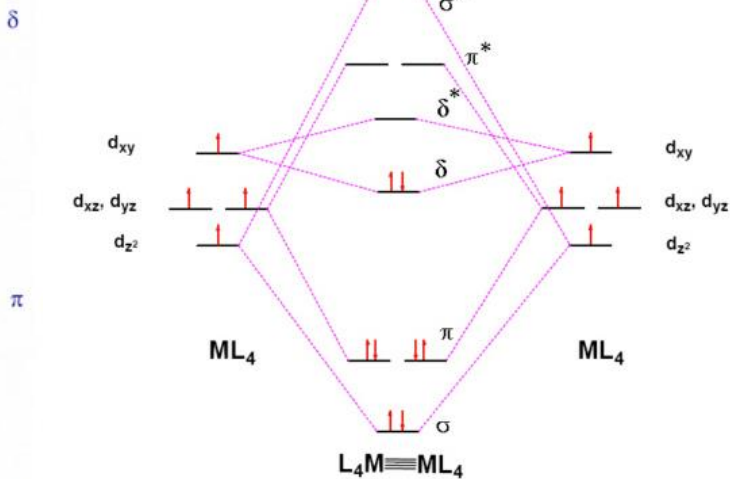
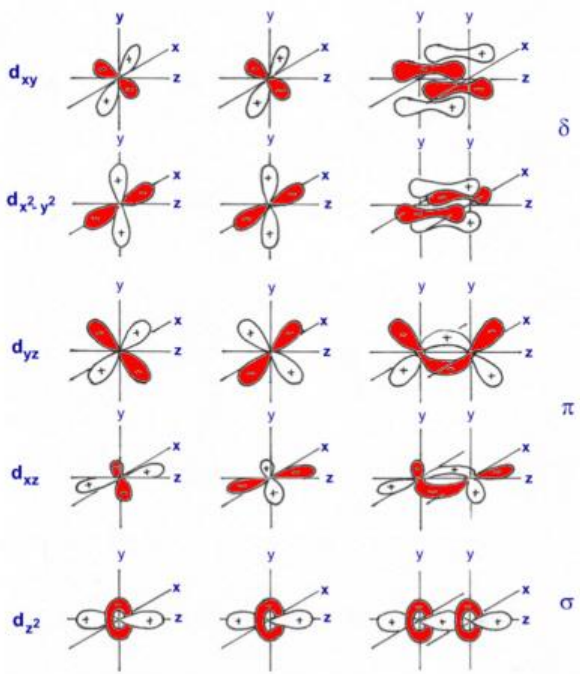
$\delta$



## Višestruke metal-metal veze u kompleksnim spojevima prijelaznih metala

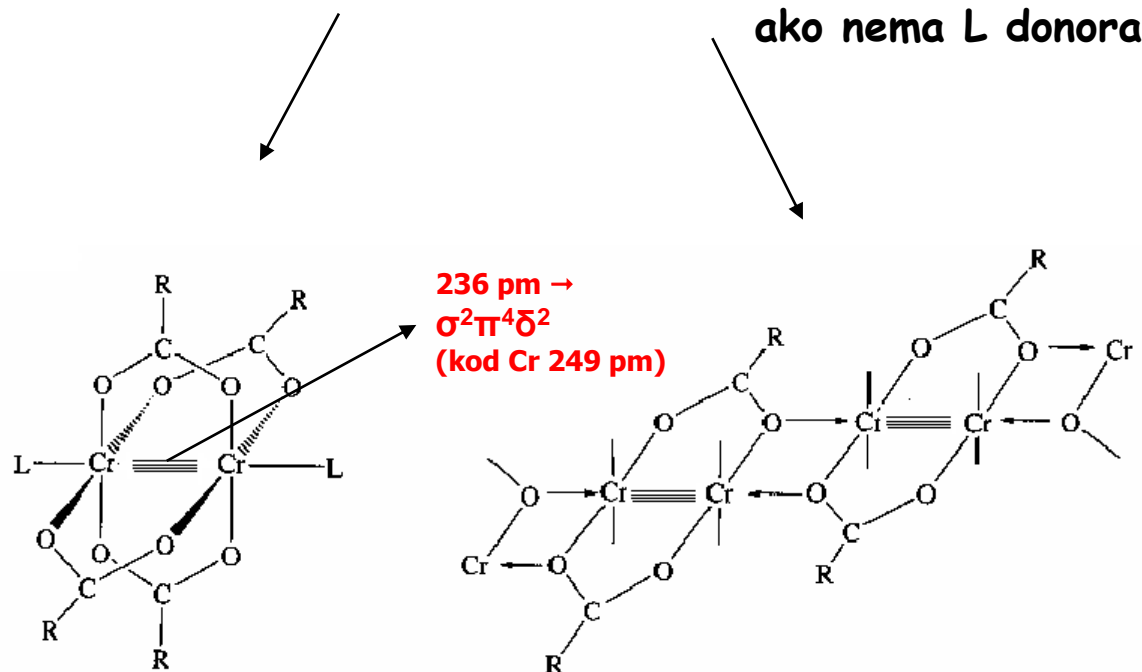


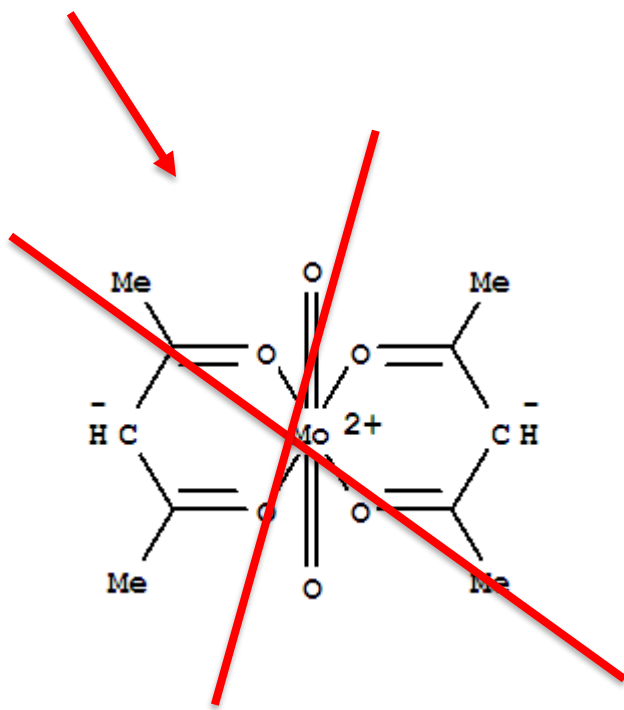
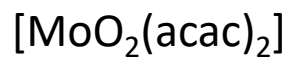




## Dinuklearni kompleksi: četverostruka veza

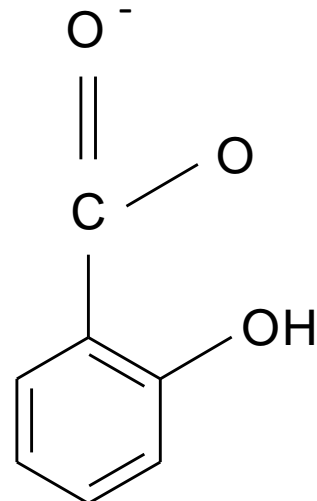
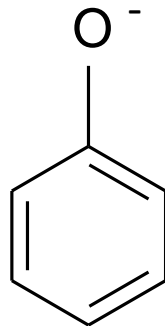
[Cr(OAc)<sub>2</sub>(H<sub>2</sub>O)]<sub>2</sub>: 1884





Neutralni makrociklički ligand s 4 donorska atoma daje crveni dijamagnetični kompleks Ni(II) s prekloratom kao anionom (1:2 elektrolit). Kada se u otopinu kompleksa doda otopina kalijevog tiocijanata dolazi do promjene boje i nastaje ljubičasti paramagnetični kompleks. U otopini zaostaje bezbojna sol kalija. Objasnite navedenu promjenu! Odgovor mora sadržavati i odgovarajuće prikaze cijepanja d-orbitala pod utjecajem kristalnog polja za crveni i za ljubičasti kompleks Ni(II).

Koji od sljedećih liganada će dati stabilniji kompleks s  $\text{Cr}^{3+}$ ?



Kod kojeg od sljedećih kompleksa možemo govoriti o deformaciji oktaedarske geometrije  $[\text{Cr}(\text{H}_2\text{O})_6]^{2+}$ ,  $[\text{MnCl}_6]^{3-}$ ,  $[\text{Fe}(\text{H}_2\text{O})_6]^{3+}$ ?

- Teorija kristalnog polja **može**
  - ✓ objasniti vezu između strukture, elektronskih i magnetskih svojstva kompleksa
- Teorija kristalnog polja **ne može**
  - ❑ Objasniti neke termodinamičke i kinetičke aspekte ponašanja metalnih kompleksa elemenata d-bloka
  - ❑ Ne daje objašnjenje položaja pojedinog liganda u spektrokemijskom nizu

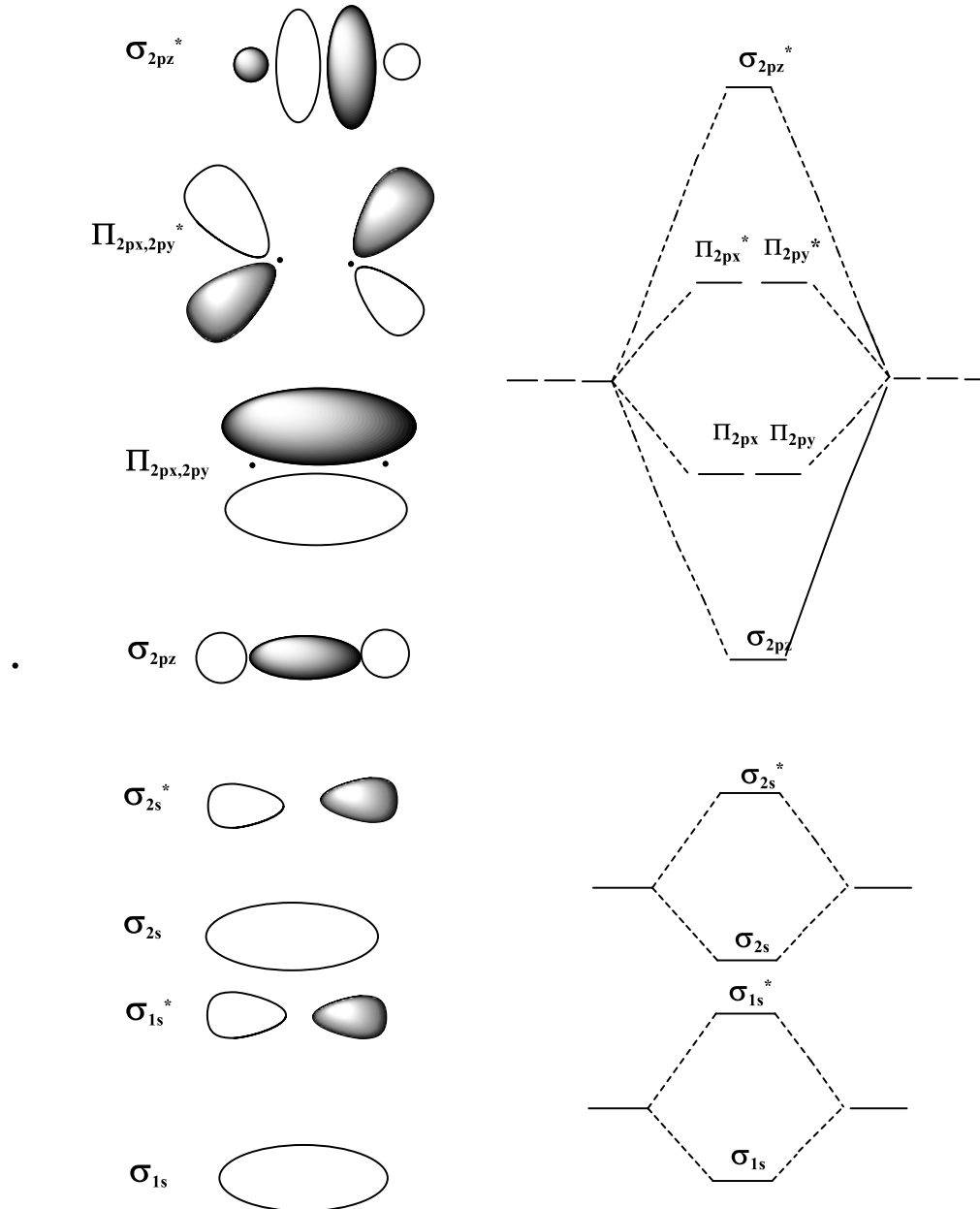
**Terija kristalnog polja proširena molekularno orbitalnom teorijom -**

**TEORIJA LIGANDNOG POLJA**

- Molekularno orbitalna (MO) teorija polazi od preklapanja atomskih orbitala iste simetrije i usporedive energije-nastajanje molekulskih orbitala.
- Linearnom kombinacijom valnih funkcija (AO) nastaje jednak broj veznih i protuveznih (MO) orbitala.
- Vezna MO uvijek je niže energije od odgovarajuće protuvezne MO.
- Elektroni zauzimaju MO u skladu s porastom njihove energije.

Red veze = Elektroni u veznim MO - Elektroni u protuveznim MO

# MO dijagram za homonuklearu dvoatomnu molekulu



# MO teorija i $O_h$ kompleksi, $ML_6$

---

Kombinacija atomskih orbitala

4s

4p<sub>x</sub>

4p<sub>y</sub>

4p<sub>z</sub>

3d<sub>x<sup>2</sup>-y<sup>2</sup></sub>  
3d<sub>z<sup>2</sup></sub>

3d<sub>xy</sub>  
3d<sub>xz</sub>  
3d<sub>yz</sub>

Molekulska orbitala

a<sub>1g</sub>

t<sub>1u</sub>

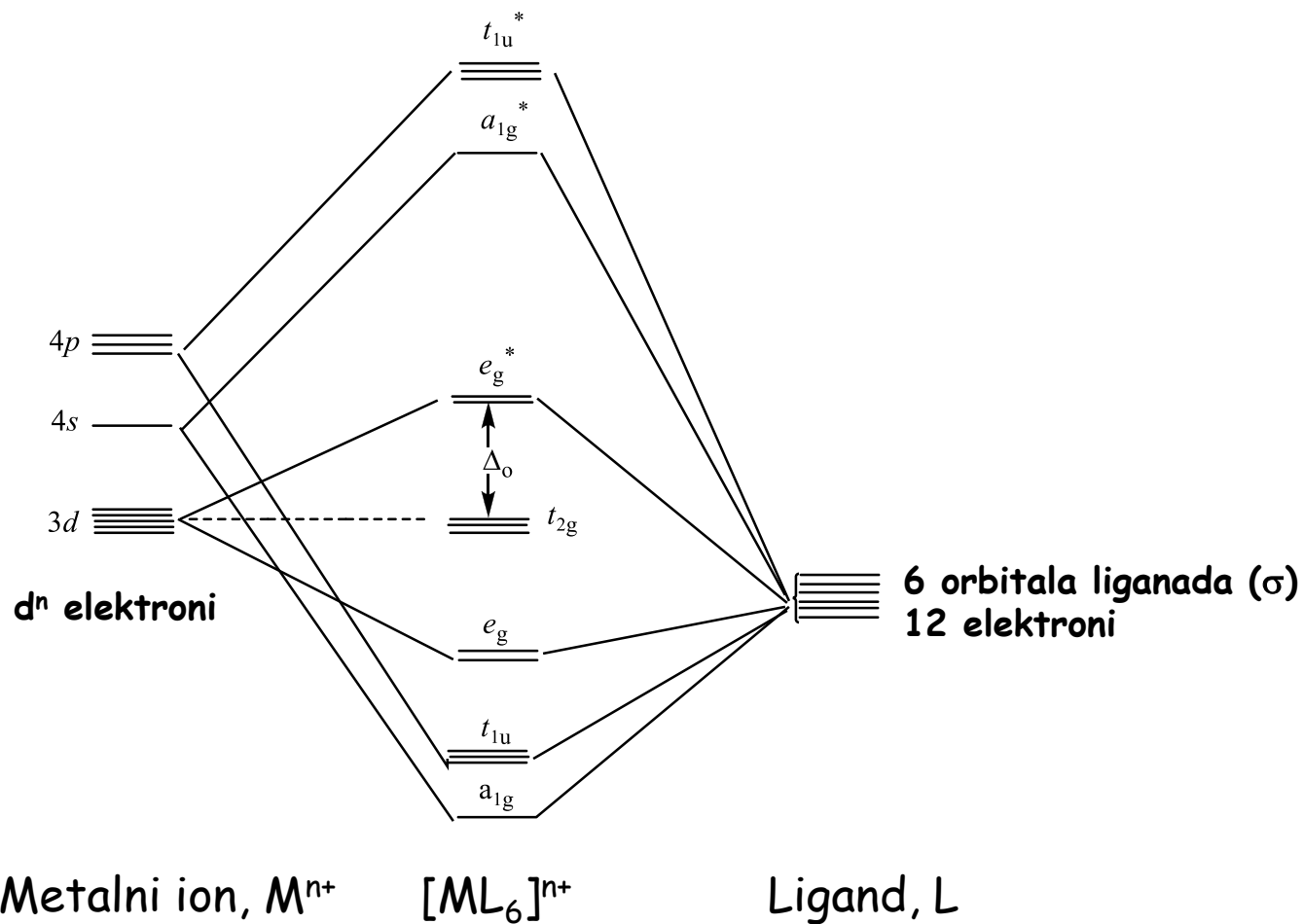
e<sub>g</sub>

t<sub>2g</sub>

nevezne orbitale kod nastajanja  
 $\sigma$ - orbitala (veza)

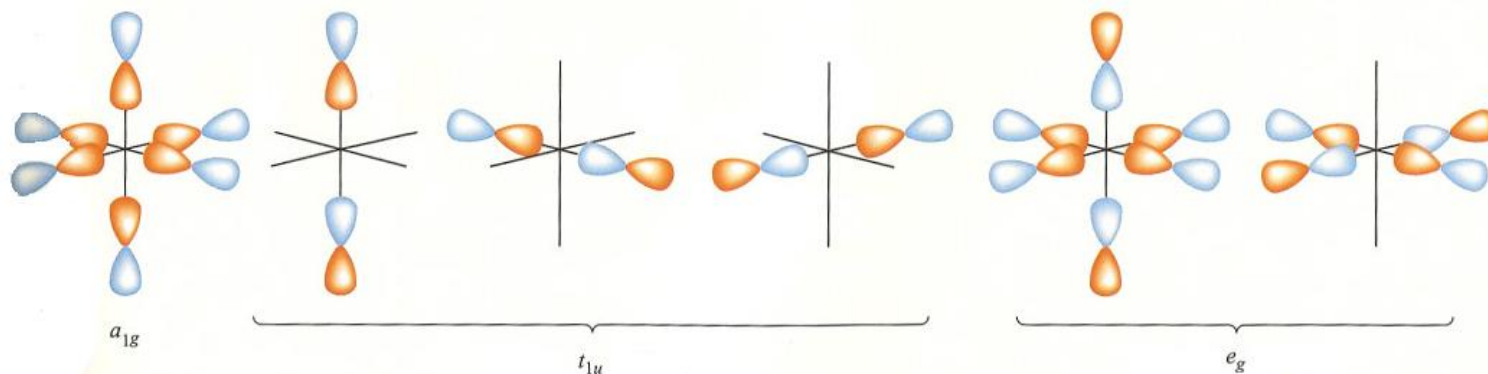
---

## MO dijagram za oktaedarske komplekse sa $\sigma$ -vezom



## ➤ Molekulska orbitalna teorija: oktaedarski kompleksi

- Konstrukcija MO dijagrama - čitav niz aproksimacija → kvalitativni prikaz
- $[ML_6]^{n+}$ : metal prve prijelazne serije ( $\sigma$ -veze) na pr.  $[Co(NH_3)_6]^{3+}$
- $O_h$  simetrija:  $M^{n+}$ 
  - ❖ s-orbitala  $\rightarrow a_{1g}$
  - ❖ p-orbitale  $\rightarrow$  degenerirane  $t_{1u}$
  - ❖ d-orbitale  $\rightarrow e_g$  ( $d_z^2$ ,  $d_x^2 - y^2$ ) i  $t_{2g}$  ( $d_{xy}$ ,  $d_{xz}$ ,  $d_{yz}$ )
  - ❖ Ligandi:
  - ❖  $a_{1g}$ ,  $t_{1u}$  (trostruko degenerirane),  $e_g$

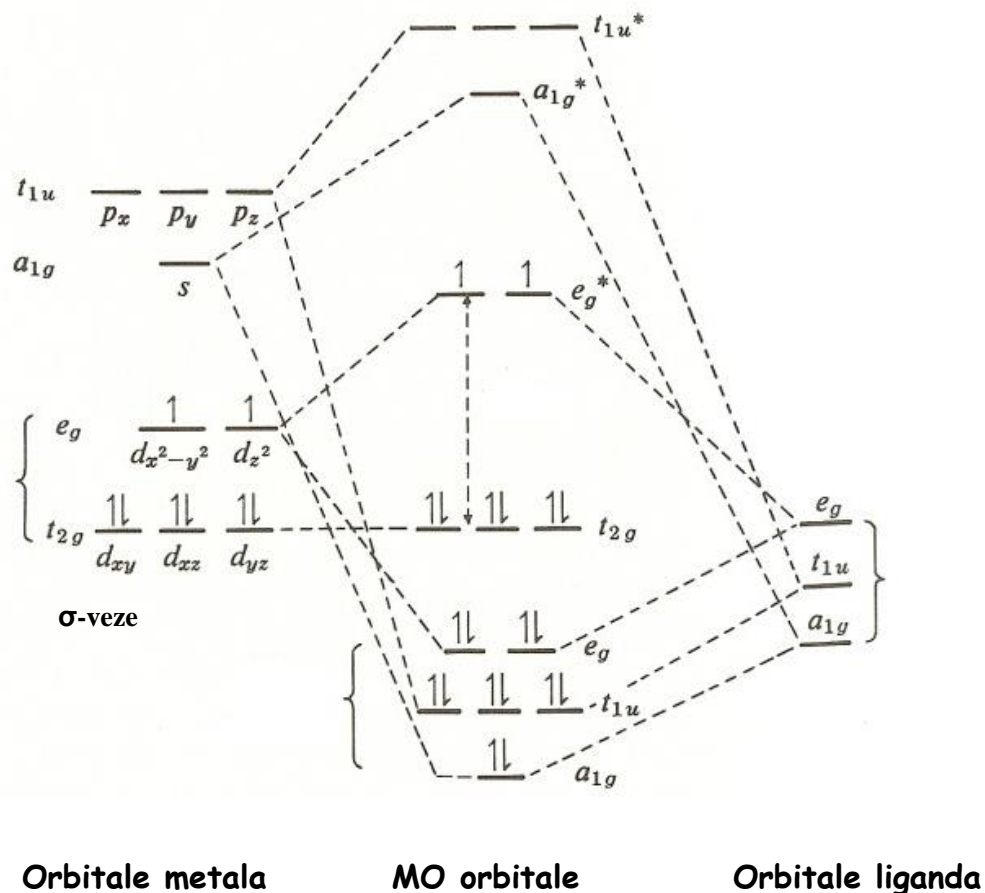


- Kombinacija orbitala metala i liganda  $\rightarrow$  6 vezujućih (veznih) i 6 nevezujućih (protuveznih) MO orbitala
- Orbitale metala  $t_{2g}$   $\rightarrow$  nevezne
- $a_{1g}$  i  $t_{1u}$   $\rightarrow$  veća stabilizacija od  $e_g$
- Razlika između  $t_{2g}$  i  $e_g^*$  nivoa  $\rightarrow \Delta_o$

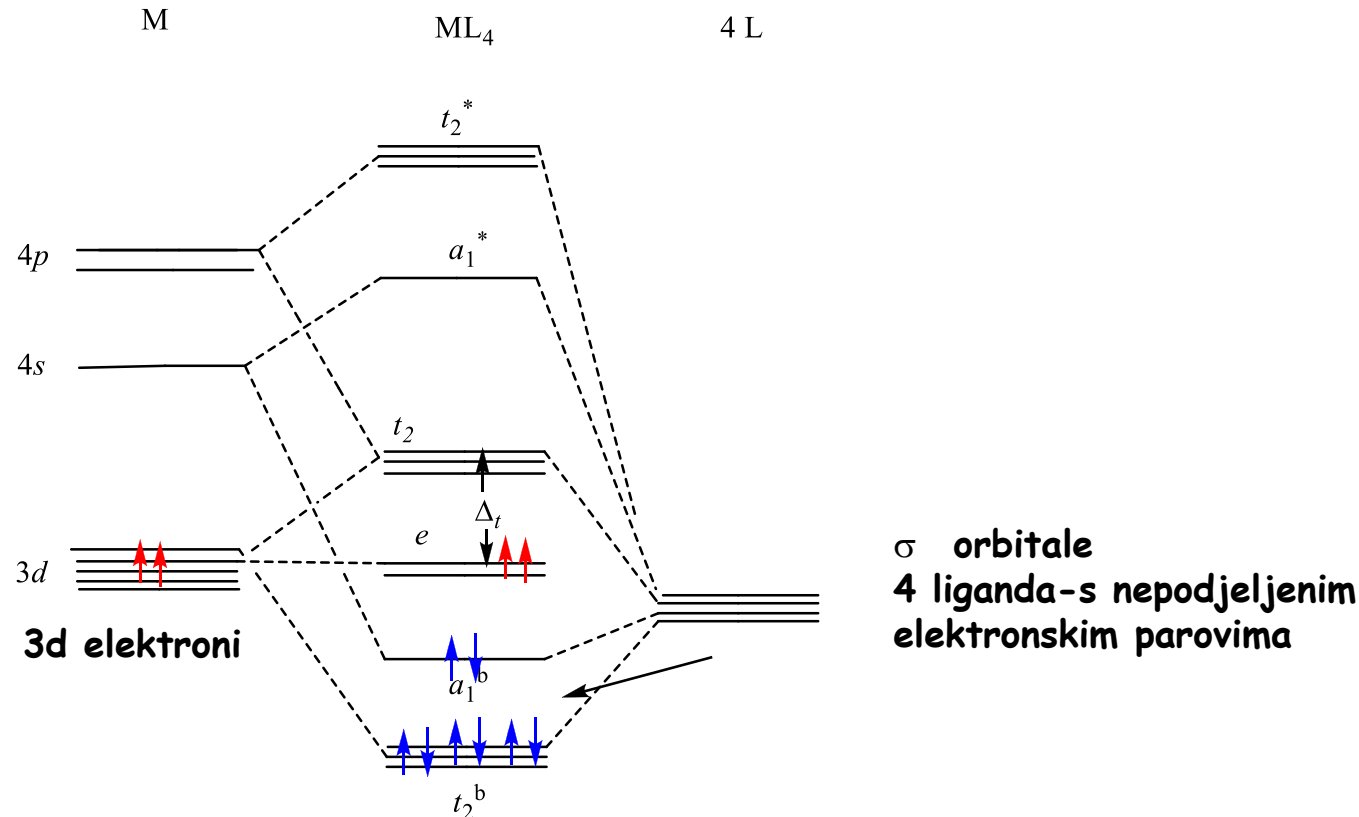
Na pr.  $[\text{Ni}(\text{NH}_3)_6]^{2+}$

20 elektrona ( $8 + 12$ ) zauzima  $a_{1g}$ ,  
 $t_{1u}$ ,  $e_g$ ,  $t_{2g}$ ,  $e_g^*$  MO

NAVEDENO ODGOVARA  
 REZULTATU TEORIJE KRISTALNOG  
 POLJA



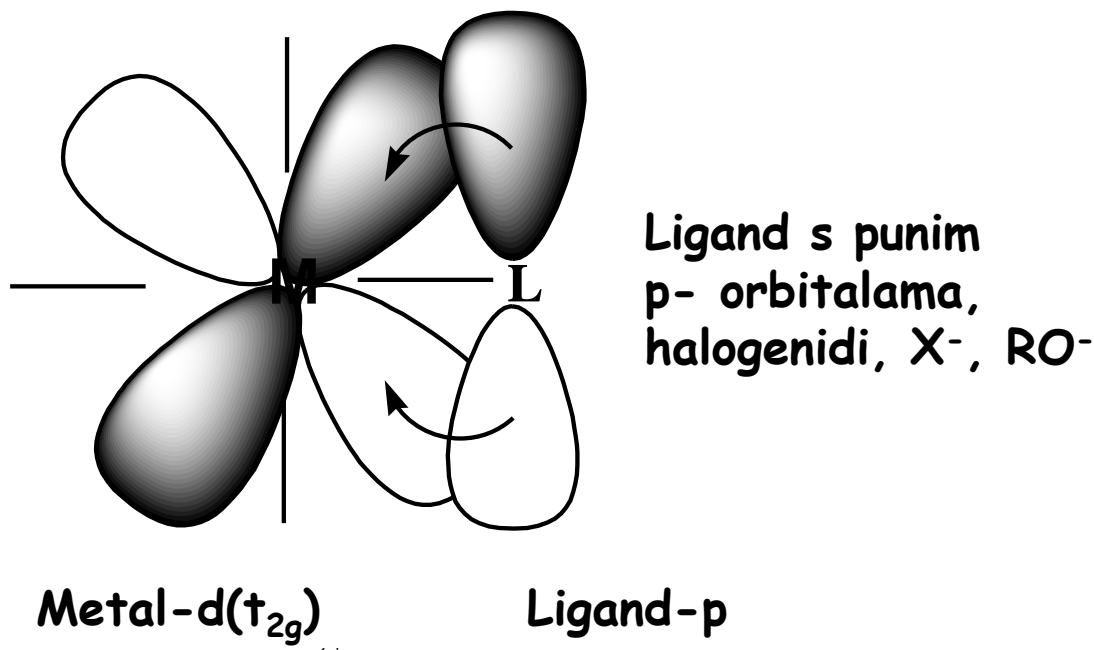
# MO dijagram za tetraedarske komplekse



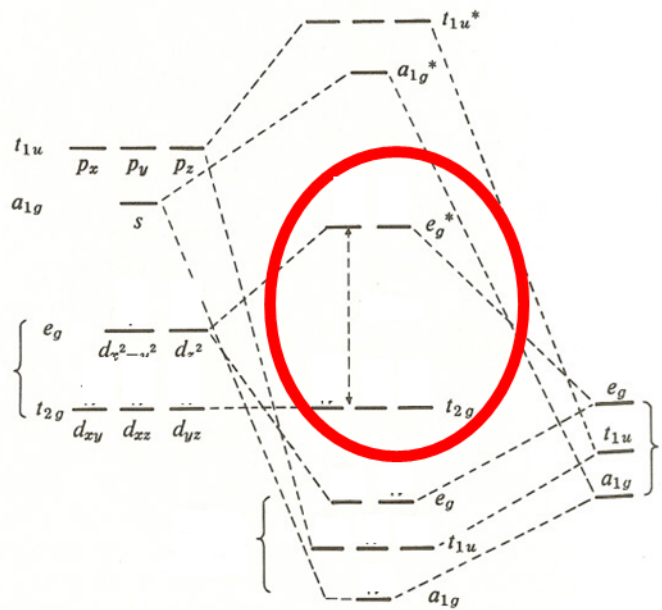
4p and  $t_2$  orbitale su iste simetrije,  $e \rightarrow t_2$  prijelazi u  $T_d$  kompleksima su manje "d-d" nego  $t_{2g} \rightarrow e_g$  prijelazi u  $O_h$  kompleksima.

# Metal-ligand $\pi$ -vezne interakcije

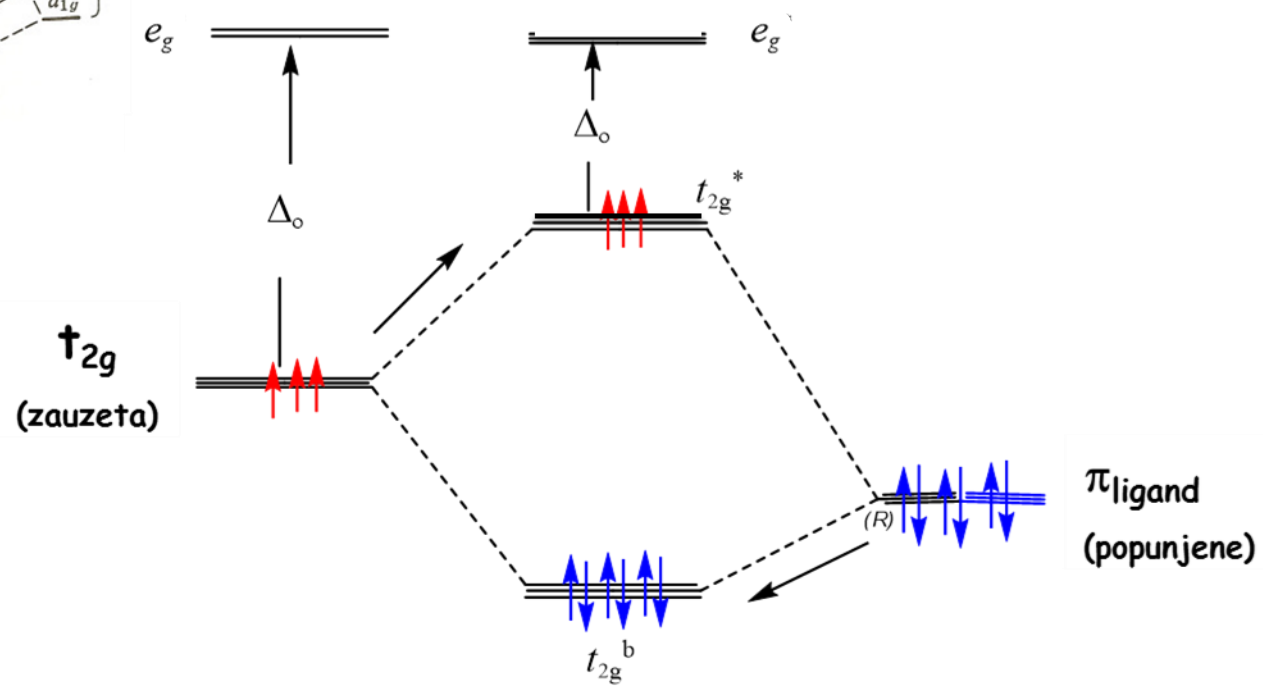
Ako se radi o  $\pi$ -interakcijama koje uključuju  $\pi$ -donaciju elektrona iz popunjenih p-orbitala halogenida ( $F^-$  and  $Cl^-$ ) i O-donora u  $t_{2g}$  orbitale metala dolazi do snižavanja energije  $\Delta_o$ .



# $\pi$ -donorske interakcije utječu na smanjenje veličine $\Delta_o$

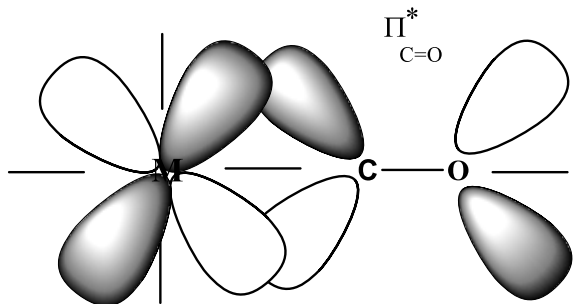


$ML_6$   
 $\sigma$ -kompleks       $ML_6$   
 $\sigma + \pi$   
kompleks



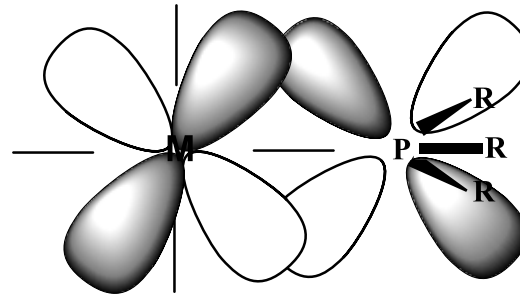
# Metal-ligand $\pi^*$ -vezne interakcije

- $t_{2g}$  orbitale ( $d_{xy}$ ,  $d_{xz}$ ,  $d_{yz}$ ) su nevezujuće u oktaedarskim kompleksima sa  $\sigma$ -vezama
- ligandi poput  $CO$ ,  $CN^-$  ili 1,10-fenantrolinom ili ligandima koji sadrže sumpor ili fosfor kao donorske atome ( $SR_2$ ,  $PR_3$ ) – prazne orbitale ( $\pi^*$ ) iste simetrije kao i  $t_{2g}$  orbitale metala



Metal-d( $t_{2g}$ )

Ligand  $\pi^*$



Metal-d( $t_{2g}$ )

Ligand  $d(t_{2g})$

$\pi$ - akceptor: dolazi do povećanja  $\Delta_o$

# NEFELAUKSETIČKI EFEKT

(gr. oblak koji se širi)



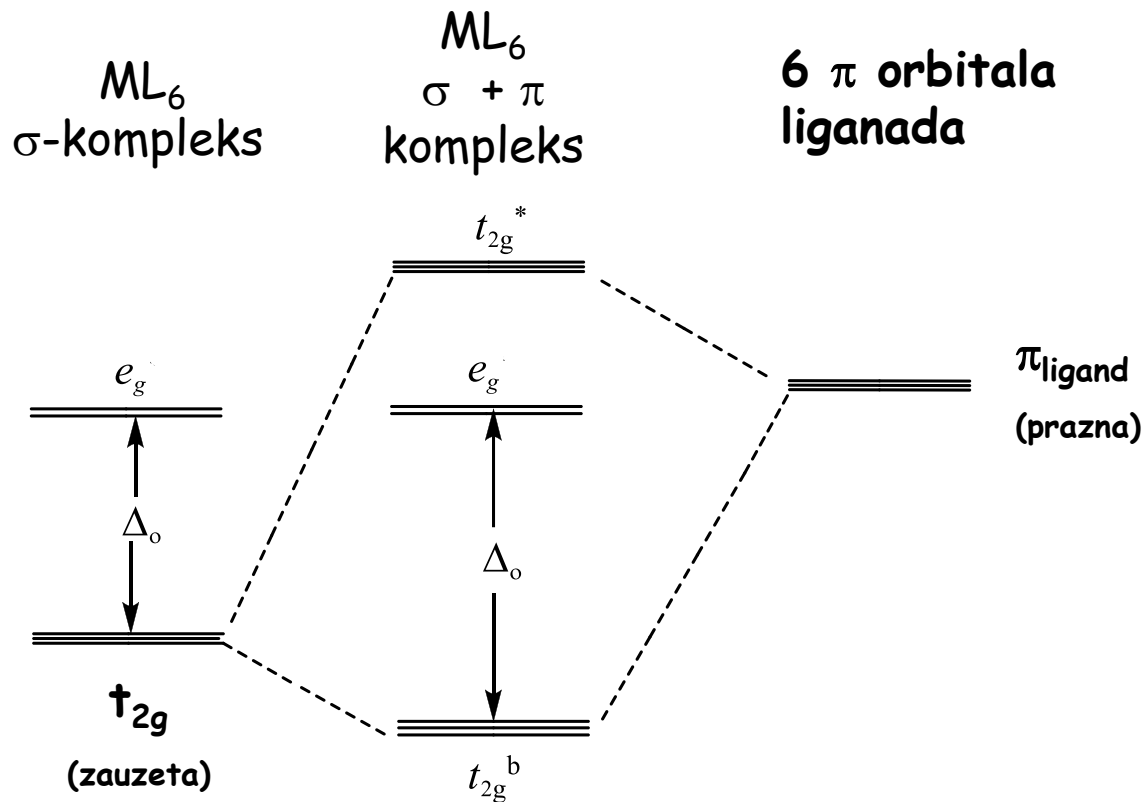
Zašto u većini slučajeva kod oktaedarskih kompleksa kada imamo na centralnom metalnom ionu didentatno (ili polidentatno) vezane ligande ne dolazi do deformacije oktaedarske geometrije?

Objasnite zašto pod utjecajem oktaedarskog kristalnog polja energija  $d_{z^2}$  orbitala raste, a  $d_{xz}$  se smanjuje?

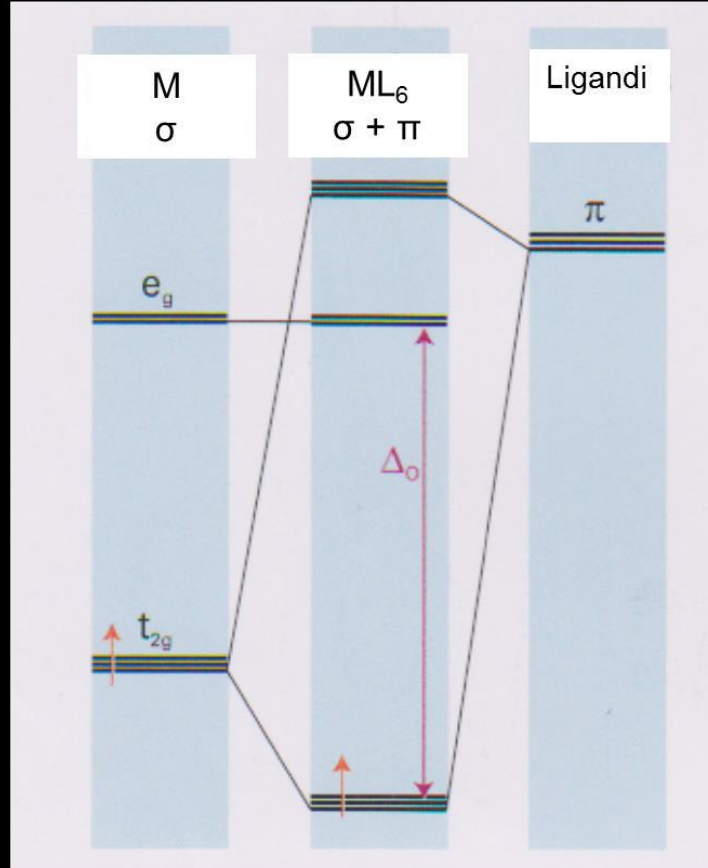
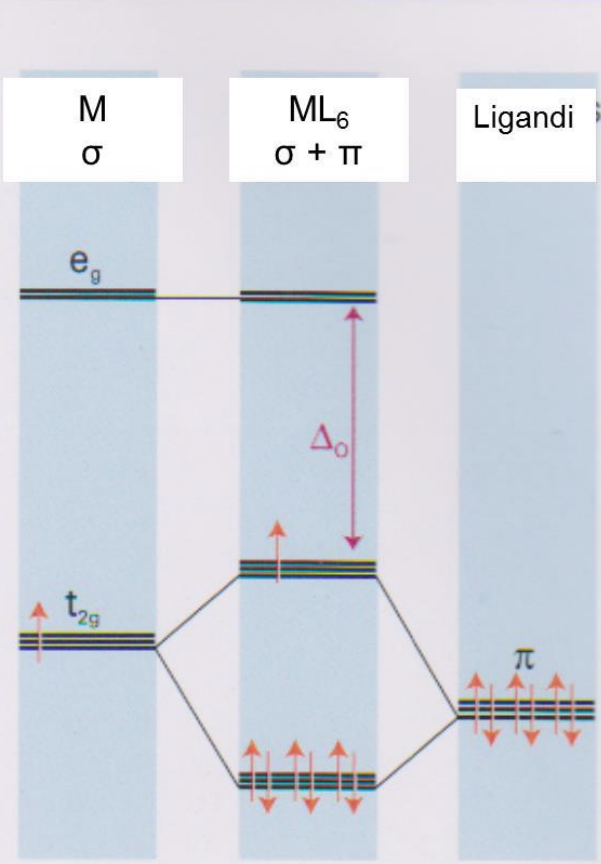
Poredajte sljedeće komplekse prema rastućoj vrijednosti  $\Delta_o$ :  $[Fe(H_2O)_6]^{2+}$ ,  $[Fe(CN)_6]^{2-}$  i  $[Fe(CN)_6]^{4-}$ .

Vrijednosti  $\Delta_{tet}$  za  $[MnO_4]^{3-}$ ,  $[MnO_4]^{2-}$  i  $[MnO_4]^-$  ustanovljene su na osnovi podataka iz elektronskih spektara i iznose  $11\ 000$ ,  $19\ 000$  i  $26\ 000\ cm^{-1}$ . Objasnite opaženi rast vrijednosti!

## $\pi$ -akceptorske interakcije utječu na porast veličine $\Delta_o$



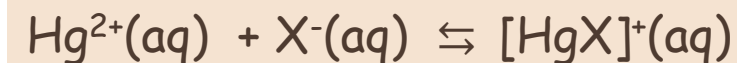
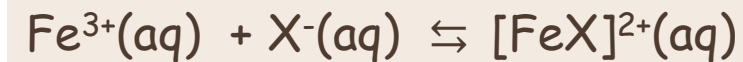
Ligandi poput  $CO$  i  $CN^-$  su  $\pi$ -akceptori  $\rightarrow$  jako ligandno (kristalno) polje



# ...HSAB PRINCIP

	Lewisove baze	Lewisove kiseline
Tvrde	$\text{F}^-$ , $\text{Cl}^-$ , $\text{H}_2\text{O}$ , $\text{ROH}$ , $\text{R}_2\text{O}$ , $[\text{OH}]^-$ , $[\text{RO}]^-$ , $[\text{RCO}_2]^-$ , $[\text{C}_2\text{O}_4]^{2-}$ , $\text{NH}_3$ , $\text{RNH}_2$	$\text{Mn}^{2+}$ , $\text{Cr}^{3+}$ , $\text{Fe}^{3+}$ , $\text{Co}^{3+}$ , $[\text{VO}]^{2+}$ , $[\text{VO}_2]^+$
Mekane	$\text{I}^-$ , $\text{H}^-$ , $\text{R}^-$ , $[-\text{CN}]^-$ , $[-\text{SCN}]^-$ , $\text{RSH}$ , $\text{R}_3\text{P}$ , $-\text{CO}$ ,	$\text{M}^0$ , $\text{Cu}^+$ , $\text{Ag}^+$ , $\text{Au}^+$ , $[\text{Hg}_2]^{2+}$ , $\text{Hg}^{2+}$ , $\text{Pd}^{2+}$ , $\text{Pt}^{2+}$
Granične	$\text{Br}^-$ , $[\text{N}_3]^-$ , $\text{py}$ , $[\text{SCN}]^-$ , $[\text{NO}_2]^-$	$\text{Pb}^{2+}$ , $\text{Fe}^{2+}$ , $\text{Co}^{2+}$ , $\text{Ni}^{2+}$ , $\text{Cu}^{2+}$ , $\text{Os}^{2+}$ , $\text{Ru}^{3+}$ , $\text{Ir}^{3+}$

# ...HSAB PRINCIP



Metalni ion	$\log k_1$			
	F	Cl	Br	I
$\text{Fe}^{3+}(\text{aq})$	6,0	1,4	0,5	-
$\text{Hg}^{2+}(\text{aq})$	1,0	6,7	8,9	12,9

$\text{Fe}^{3+}$  (tvrdi metalni ion);  $\text{Hg}^{2+}$  (meki metalni ion)

